

# TECHNIKA CIEPLNA

CZASOPISMO STOWARZYSZENIA DOZORU KOTŁÓW W WARSZAWIE

OFICJALNY ORGAN POLSKIEGO KOMITETU NORMALIZACYJNEGO DLA SPRAW KOTŁOWYCH

REDAKTOR: Inż. techn. JAN KOMARNICKI

Wydawca: Stowarzyszenie Dozoru Kotłów w Warszawie.

REDAKCJA I ADMINISTRACJA: WARSZAWA, PIĘKNA 32, m. 12. TEL. 301-47.

GODZINY BIUROWE: REDAKCJI—PIĄTKI, OD 18 DO 20, ADMINISTRACJI—CODZIENNIE, OD 10 DO 15

TREŚĆ: *K. Frey*, inż. Ostatnie zdobycze i stan obecny budowy turbin parowych. — *Br. Chudzyński*, inż. Aparat Cowpera jako nagrzewnica dmuchu wielkopieczowego. — *Cz. Grabowski*, prof. Zasady hydraulicznej teorii ciągu naturalnego. — *Z. K.* Eksplozja lokomobili, — ś. p. Tomasz Kociatkiewicz. — KRONIKA TECHNICZNA: Ciepłarnie w siłowni Klingenberg. — Nowy Instytut Badawczy. — PRZEGLĄD KSIĄŻEK: B. M. Konorski. Hilfsbuch für Betriebsberechnungen. — PRZEGLĄD WYTWÓRCZOŚCI: Dodatkowe kotły Kröppelina. — Produkcja lokomobil parowych w kraju.

SOMMAIRE: *K. Frey*, ing. Les derniers achievements et l'état actuel de la construction des turbines à vapeur. — *Br. Chudzyński*, ing. L'appareil Cowper comme un rechauffeur de l'air des hauts fourneaux. — *Cz. Grabowski* prof. La théorie hydraulique du tirage naturel. — *Z. K.* L'explosion d'une machine locomobile. — Le defunt Tomasz Kociatkiewicz. — CHRONIQUE: Les orangeries de la centrale de Klingenberg. — Une nouvelle institution expérimentale. — REVUE des LIVRES: B. M. Konorski. Hilfsbuch für Betriebsberechnungen, par. Mr. T. Wróblewski. NOUVEAUX PRODUITS et PROCÉDÉS. Les chaudières supplémentaires Kröppelin. — La production des locomobiles à vapeur en Pologne.

KARL FREY, inż. Baden.

## OSTATNIE ZDOBYCZE I STAN OBECNY BUDOWY TURBIN PAROWYCH

Po wygłoszeniu odczytów w Warszawie, Katowicach i Łodzi, chcąc zadość uczynić życzeniu moich łaskawych słuchaczy i wszystkich interesujących się budową turbin parowych, postanowiłem ogłosić treść ich w *Technice Ciepłej*. W artykule konieczną była zmiana ujęcia tematu oraz odpowiedni dobór ilustracji.

Budowa turbin parowych poczyniła w ostatnich latach duże postępy i jest rzeczą bardzo ciekawą, rozważyć poszczególne czynniki, konieczne do zobrazowania całokształtu.

Najdosadniej scharakteryzujemy postęp budowy turbin przez rozpatrzenie granicy ciśnień, temperatur i osiągalnego skutku użytkowego nowoczesnych centrali oraz obecnej wielkości mocy krańcowej dla silników parowych. Mniej więcej dziesięć lat temu zadowolniano się w budowie turbin parowych podwyższeniem sprawności przez powiększenie mocy poszczególnych grup, bez uciekania się do podwyższenia ciśnienia i temperatury pary dolotowej; dopiero od roku 1920 powstaje

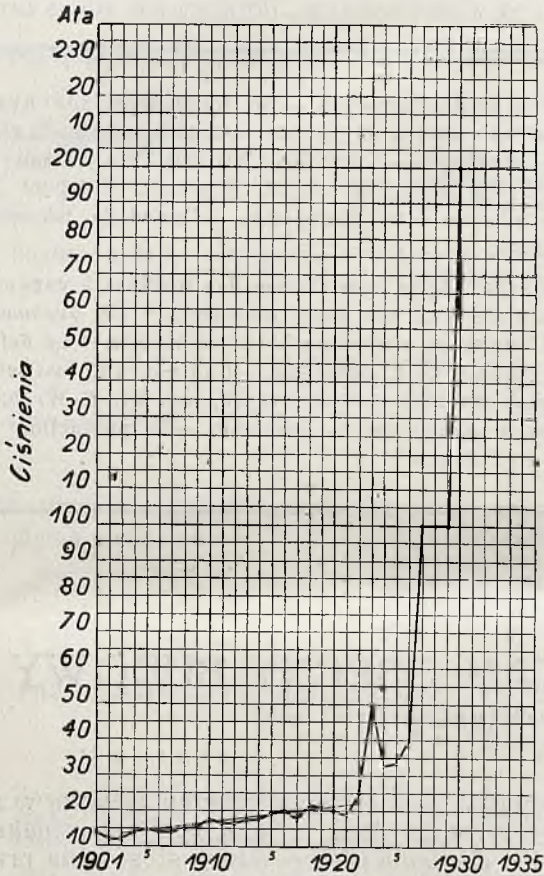
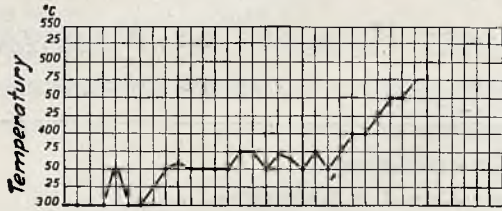
tendencja powiększenia spadku ciepłika w samej turbinie. Rys. 1 wskazuje nam maksymalne ciśnienia i temperatury stosowane przez firmę Brown Boveri w poszczególnych latach.

Górną granicą stanu pary dolotowej było przez czas dłuższy 10-15 atn 350-375 °0., potem raptownie ciśnienie pary wzrosło do 25, 50, 100 i wreszcie dzisiaj do 200 atn, które można uważać za ostateczny kres.

Śledząc równocześnie wzrost stosowanych temperatur, zauważymy stały postęp, lecz w porównaniu z ciśnieniami znacznie powolniejszy. Wyczuwamy pewną ostrożność ze strony konstruktorów przy podwyższaniu temperatury pary dolotowej, jednakże corocznie posuwamy się mniej więcej o 25°C. i obecnie jako granicę można podać 480° do 500°. <sup>P</sup>damy tutaj przyczyny tego jednostrojnemu rozwojowi. Przez specjalnie dostosowaną konstrukcję jest rzeczą możliwą utrzymanie poszczególnych granicach naprężenia unikając przytem nierównomiernej budowy i powstawania dodatkowej.



Znacznie mniej korzystnie przedstawia się sprawa temperatury pary dolotowej. Od szeregu lat posiadamy rezultaty doświadczeń,



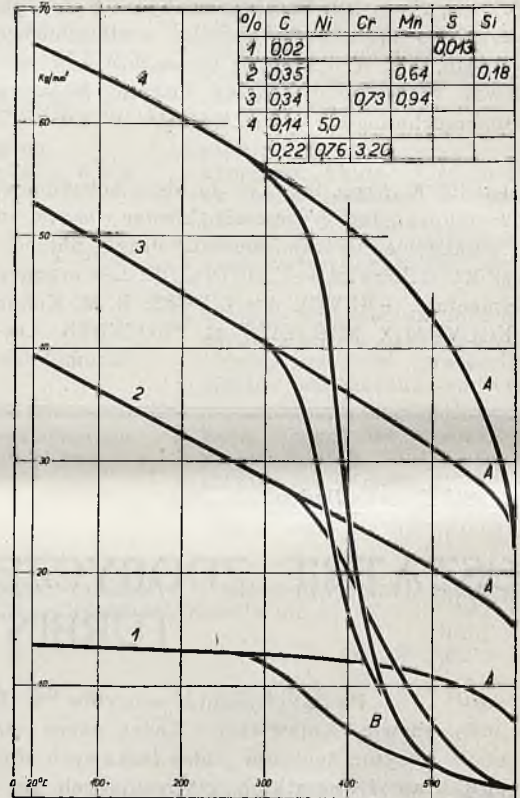
Rys. 1. Temperatura i ciśnienie pary dolotowej stosowane przez firmę Brown Boveri w poszczególnych latach

które wykazały, że wszystkie używane materiały konstrukcyjne tracą swe cechy wytrzymałościowe wraz ze wzrostem temperatury. Powyższe rezultaty były otrzymane za pomocą tak zwanej krótko trwającej próby na rozzerwanie, przy której badana próbka posiadała żadaną wysoką temperaturę, lecz sam proces rozerwania następował natychmiast. Dalej idące badania wykazały, że wspomniane dane były błędne, i że już od pewnej temperatury, różnej dla każdego materiału, zachodzą powolne odkształcenia przy stałym (ciągłym) obciążeniu, nawet wówczas, gdy naprężenia w materiale są niższe od naprężeń odpowiadających granicy sprężystości podczas krótkotrwałej próby na rozzerwanie przy tej samej temperaturze. Zwłaszcza duże znaczenie miało

ustalenie faktu, że domieszki do żelaza zarówno chromu, jak i niklu pozostają bez żadnego wpływu na wytrzymałość trwałą.

Natomiast wykazano, że niewielkie ilości molibdenu, wolframu i wanadu powodują znaczne polepszenie ciągłej wytrzymałości materiału przy wysokich temperaturach.

Na rysunkach 2 do 4 widzimy poszczególne właściwości wytrzymałościowe. Stal 1 (rys. 2) jest t. zw. żelazem Armeo (specjalnie czyste żelazo) i wykazuje nam podczas krótkotrwałej próby mniej więcej równomierną linię granicy sprężystości, zaczynającą powoli opadać przy 500° ewentualnie przy 600°C.



Rys. 2. Wyniki rozrywania stali na gorąco  
A—granica sprężystości przy próbie krótkotrwałej  
B—wytrzymałość stała przy próbie długotrwałej

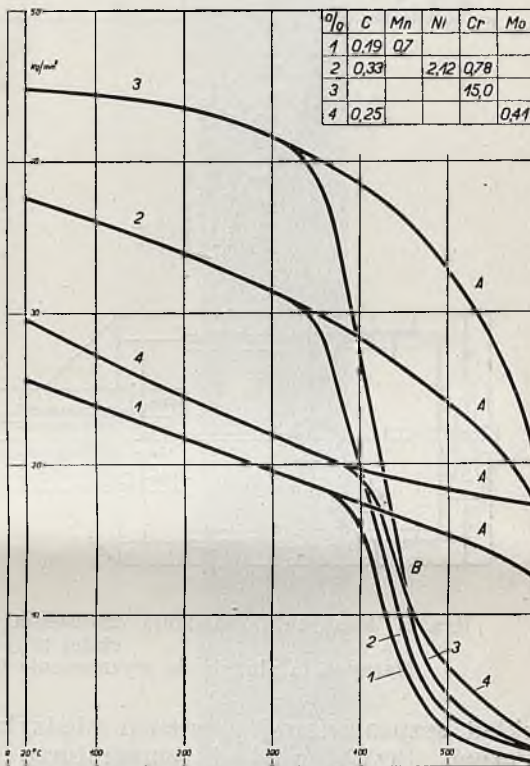
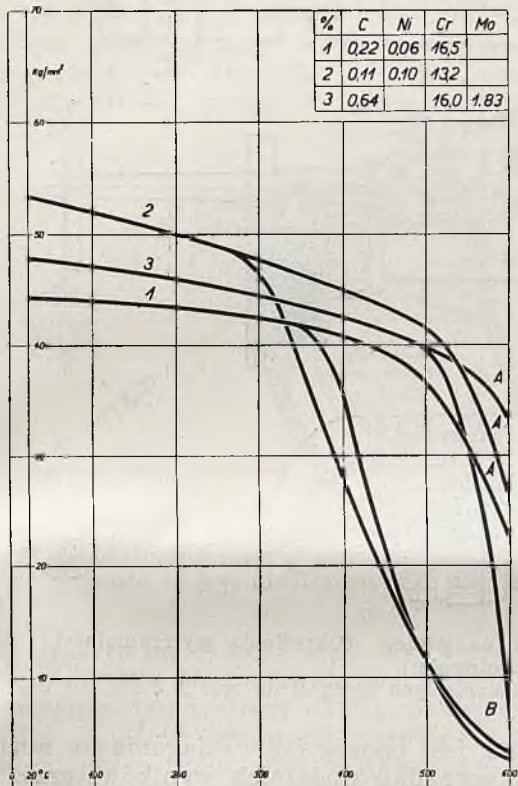
Natomiast ciągła wytrzymałość odchyła się dość znacznie przy 300° i przy 400° posiada zaledwie połowę, przy 500° zaś zaledwie 1/4 pozornej granicy sprężystości. Wytrzymałość stali 2 o większej zawartości węgla, manganu i krzemu opada od początkowo korzystnej granicy sprężystości znacznie szybciej, lecz równomiej do 600°. Ciągła wytrzymałość natomiast zaczyna się różnić przy temperaturze około 350°, lecz jest znacznie korzystniejsza, niż u poprzedniej stali. Stal 3, zawierająca 5% niklu i ponad 3% chromu, oraz stal 4, zawierająca 1% niklu i ponad 3% chromu posiadają korzystną granicę sprężystości, aż do 500° ewentualnie 600°, lecz ciągła wytrzymałość zaczyna już silnie opadać przy



300°C, tak dalece, że przy temperaturze powyżej 400° jest niższa, niż u stali 2. Na rysunku 3 stal 1, zawierająca 16,5% chromu, posiada aż do temperatury około 400° względnie dobrą granicę sprężystości, lecz potem zauważamy silniejszy spadek nawet podczas krótkotrwałej próby. To samo można powiedzieć o stali 2, zawierającej około 13% chromu. Lecz oba te gatunki stali pod względem ciągłej wytrzymałości nie posiadają większej wartości, ponieważ wspomniana wytrzymałość już przy temperaturze około 300° tak

nej linii granicy sprężystości, jak stal 2 lub 3 z zawartością chromu i niklu, lecz wytrzymałość stała stali 4 jest największa przy temperaturze 450° ze wszystkich gatunków stali lanej.

Porównanie rys. 2, 3 i 4 wskazuje, że ze stalą laną nie osiągnięto jeszcze tak dobrych rezultatów jak ze stalą kutą z domieszką molibdenu. Wspomniane wyniki ze stalą laną zostały osiągnięte dopiero w ostatnich czasach i przewaga stali kutej z punktu widzenia wytrzymałości przy wysokich temperaturach, wprowadziła niektórych konstruk-



Rys. 3. Wyniki rozrywania stali na gorąco  
A—granica sprężystości przy próbie krótkotrwałej  
B—wytrzymałość stała przy próbie długotrwałej

Rys. 4. Wyniki rozrywania stali lanej na gorąco  
A—granica sprężystości przy próbie krótkotrwałej  
B—wytrzymałość stała przy próbie długotrwałej

silnie maleje, że posiada przy 500° zaledwie 1/4 pozornej granicy sprężystości. Stal 3 zawiera oprócz 16% chromu jeszcze niespełna 2% molibdenu. Ma ona podobny przebieg linii granicy sprężystości, lecz wytrzymałość ciągła zaczyna odstępować od linii granicy sprężystości dopiero od temperatury 500°, potem zaś między 500° i 600° gwałtownie opada. Z powyższego widać bardzo wyraźnie, że domieszka do stali 1 ewentualnie 2 niewielkiej ilości molibdenu wywiera duży wpływ na wytrzymałość przy wysokich temperaturach. Należy przytem zwrócić uwagę, że powyższa cecha wytrzymałościowa jest niezależna od zawartości chromu i niklu w żelazie, lecz jest jedynie uwarunkowana obecnością molibdenu. Na rys. 4 obserwujemy podobne zjawisko u stali lanej. Stal 4 z domieszką molibdenu nie posiada korzyst-

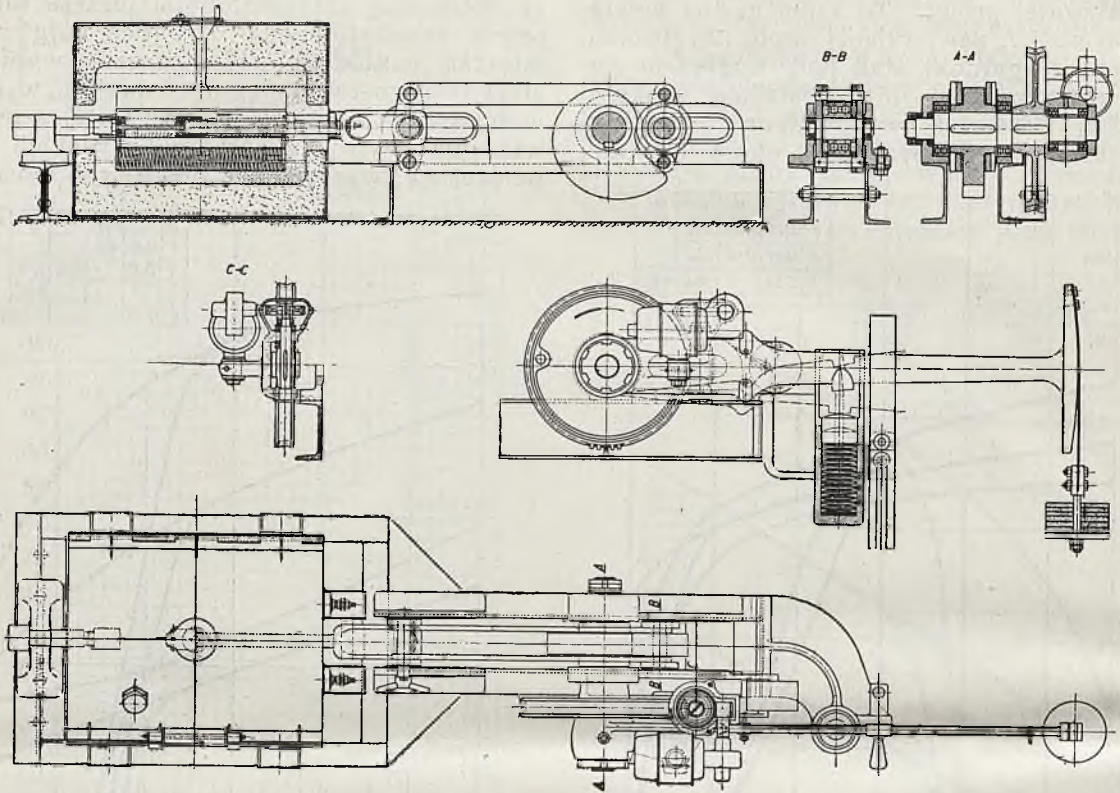
torów na drogę zastępowania stali lanej stalą kutą. W ten sposób wykonane konstrukcje osłon są oczywiście bardzo niezgrabne i ciężkie. Niemożliwe jest przytem nadanie ściankom równomiernej grubości wobec czego zalety bardziej odpornej na temperatury materiału stają się wątpliwe, ponieważ nierównomierne grubości ścianek pociągają za sobą niejednakowe nagrzewanie poszczególnych części osłony i powodują stałe odkształcenia dzięki nadmiernym naprężeniom. Stąd widać jak konstruktor turbinowy uzależniony jest od odlewnika i należy się spodziewać, że dopiero współpraca tych fachowców doprowadzi do otrzymania najbardziej pod względem wytrzymałościowym korzystnego przy wysokich temperaturach stopu. To osobliwe zachowanie się przy wysokich temperaturach naszych materiałów konstrukcyjnych jest spo-



wodowane budową substancji międzykryształowej. Poszczególne składniki stopowe zachowują się w spoinach zupełnie odmiennie.

Mianowicie nikiel, chrom itp. wchodzi jako składniki kryształów żelaza, podczas gdy molibden pod postacią karbidu wchodzi

nie zachodzi przez substancję międzykryształową (kryształity), zaś przy wysokiej temperaturze i długim okresie rozrywania rozzerwaniu zachodzi według granicy kryształów i kryształitów, czyli wyrażając się obrazowo kryształy wychodzą ze spoiwa. Na tym zja-

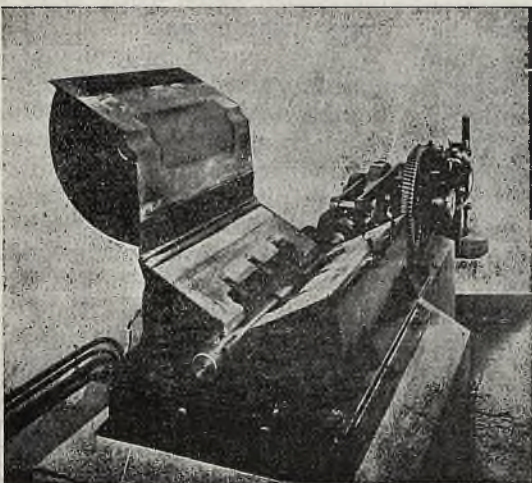


Rys. 5. Maszyna do badania zmęczenia materiałów na gorąco. (Określenie wytrzymałości stałej przy próbie długotrwałej)

Maszyna ta służyła do wyznaczenia krzywych oznaczonych literą B na rys. 2, 3 i 4

w skład bezpostaciowej substancji międzykryształicznej. Przy normalnej temperaturze we wszystkich wypadkach i przy wyższej temperaturze podczas krótkotrwałej próby tj., podczas szybkiej zmiany struktury, rozzerwania

wisku jest oparty fakt osiągania w normalnym wypadku dodatnich wyników przez dodanie niklu i chromu, tymczasem dla ciągłej wytrzymałości przy wysokich temperaturach powyższe stopy, w składzie, jaki się zwykle stosuje, są całkowicie bez znaczenia, natomiast niewielkie polepszenie spoiwa międzykryształowego powoduje znaczną poprawę wytrzymałości przy wysokich temperaturach. Oczywiście, że te nowe dane zostały otrzymane w ciągu dość długiego czasu, a ponieważ niektóre z wyników i wyjaśnień były ze sobą sprzeczne, przeto firma Brown Boveri zbudowała maszynę dociągłej próby wytrzymałościowej (Deuerzerreissmaschine), aby, w porozumieniu z dostawcami stali, ustalić wartości ciągłej wytrzymałości, które zostały podane na rysunkach 2—4.

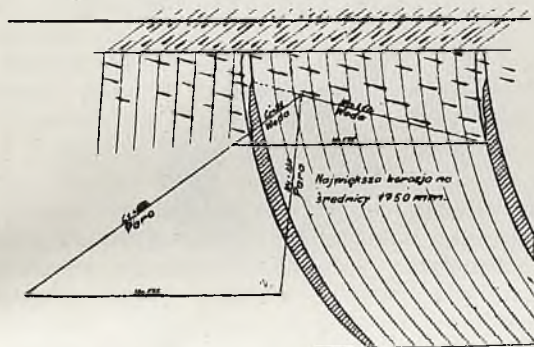


Rys. 6. Maszyna do badania zmęczenia materiałów przy wysokich temperaturach

Na rys. 5 — 6 widzimy wspomnianą maszynę, umożliwiającą z jednej strony utrzymanie stałej temperatury badanej próbki, z drugiej zaś strony dzięki zastosowaniu elektrycznego napędu stałe (ciągłe) obciążenie powyższej próbki, pomimo jej wydłużania.



Trudności opanowania temperatur polegają ponadto na znacznym przesunięciu linii rozprężenia w wykresie entropowym. Na rys. 7 widzimy trzy linie rozprężenia, wskazujące nam zmianę poszczególnych ustosunkowań. Dla stanu pary świeżej o ciśnieniu 16 *ata* i temperaturze 350°C, odpowiadającemu jeszcze do niedawna budowanym instalacjom, przy rozprężeniu do 96% próżni, więcej niż połowa linii ekspansji znajduje się w obszarze przegrzania i zawartość wody w parze odlotowej wynosi tylko 11%. Gdy podwyższymy ciśnienie do 100 *ata* i temperaturę do 450°C, wówczas przebieg linii ekspansji w obszarze przegrzania jest znacznie mniejszy, wzrasta zaś zawartość wody w parze odlotowej do 17,5%.



Rys. 8. Powstanie korozji na łopatkach wirnikowych pod wpływem wilgotnej pary

Jeszcze mniej korzystne jest ustosunkowanie dla 200 *ata* i obecnie największej dopuszczalnej temperatury 470°C, ponieważ zaledwie 1/4 część ekspansji przebiega przez obszar przegrzania, zaś większa jej część znajduje się w obszarze pary nasyconej i w końcowym punkcie mamy aż 25% wody.

Z punktu widzenia czystej termodynamiki taki przebieg linii rozprężania jest bardzo pożądanym, ponieważ zmniejszamy ciepłok pary odlotowej i wówczas maleją straty w skraplaczu, a zatem wzrasta sprawność obiegu.

Niestety zawartość wody w parze jest w wysokim stopniu szkodliwa dla łopatek, ponieważ wydzielające się krople wody niszczą łopatki wirnikowe, tak że musimy zaniechać rozprężania pary o dużej wilgotności.

Przyczyny korozji łopatek w obszarze pary mokrej uwidacznia nam rysunek 8. Wykres szybkości dla pary wykazuje korzystny kąt wlotu szybkości względnej  $W_1$ . Wydzielające się krople wody, posiadając znacznie mniejszą bezwzględną szybkość  $C_1^1$  mają również inną szybkość względną  $W_1^1$  nie tylko co do wielkości, lecz i kierunku i z tego powodu krople wody uderzają prostopadle o ścianki łopatki.

Rysunki 9 i 10 wskazują nam niszczące działanie wody. Jest to nader charakterystyczne, że woda stara się lokalnie przedziurawić ściankę łopatki, tak, że pod światło

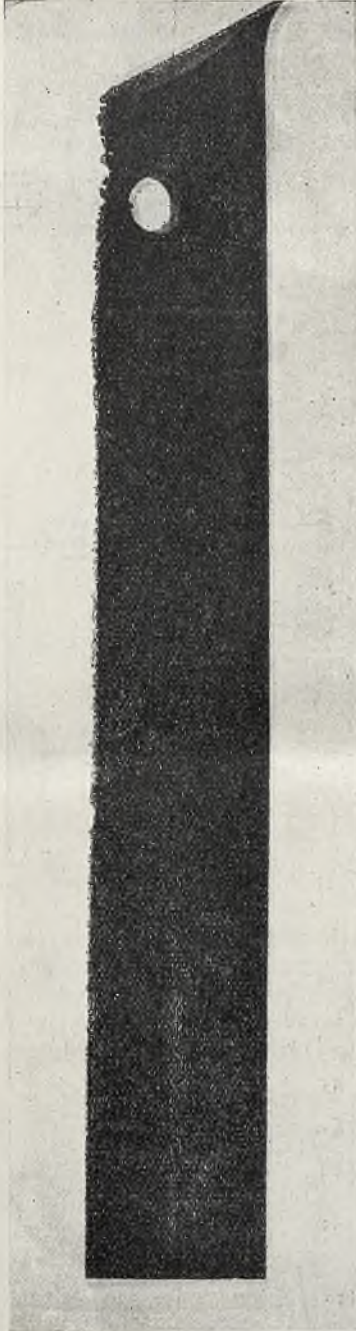


Rys. 9. Łopaska ze śladami wyżarć spowodowanych działaniem wody

widać niewielkie otworki. Niemiłe doświadczenia z korozją ostatnich rzędów znane są stosunkowo niedawno i spowodowane są dwiema zasadniczymi przyczynami. Nie jest bynajmniej rzeczą przypadku fakt wyżarcia zewnętrznej części łopatki, ponieważ wilgotność pary z powodu działania siły odśrodkowej wzrasta ku obwodowi. Z tego też powodu



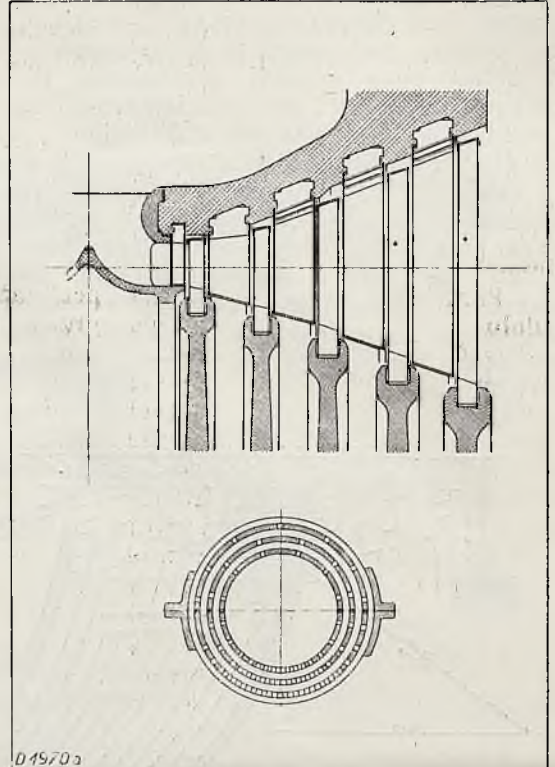
turbiny o dużej liczbie obrotów mają przy tej samej szybkości obwodowej znacznie większe zdzieranie łopatek. Powyższe trudności wystąpiły w całej pełni wówczas, gdy podniesiono moc turbin o szybkości 3000



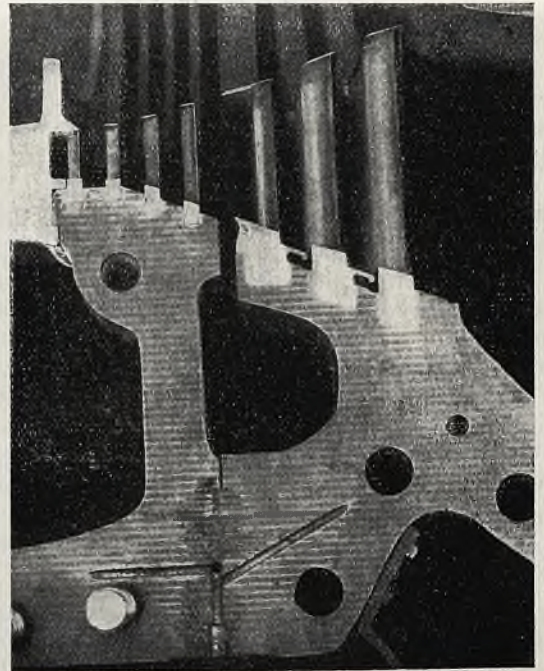
Rys. 10. Łopátka ze śladami wyżarć spowodowanych działaniem wody

obr./min. Oprócz tego zwiększono sprawność nowoczesnych turbin i przebieg linii ekspansji mniej odbiega, niż dawniej od adjabaty, czyli, że dla tego samego ciśnienia w kondensatorze wzrasta jednocześnie ze wzrostem sprawności i zawartość wody w parze, a zatem musi też wzrosnąć zdzieranie łopatek,

im większa jest sprawność odnośnej turbiny. Jest zrozumiałe, że starano się znaleźć drogi do usunięcia zdzierania łopatek; najprędzej



Rys. 11. Odwodnienie cylindra niskoprężnego



Rys. 12. Odwodnienie cylindra niskoprężnego

prowadzącą do celu jest wykonanie łopatek z bardziej odpornego materiału. Jest to jedynie półśrodek, bez żadnego znaczenia, gdyż wcale nie przeciwdziała zniszczeniu łopatek.



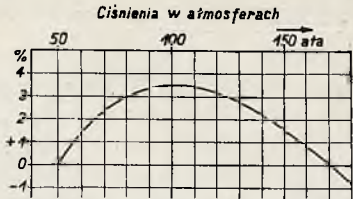
Pozostaje zatem jedynie staranne chwy-  
tanie wydzielającej się pod postacią kropel  
wody i odprowadzanie na zewnątrz łopatek.  
Stworzono cały szereg urządzeń odwadniają-  
cych, lecz nie usunięto mimo to całkowicie  
korozji. Pozostaje tu zatem otwarte pole do  
działania dla konstruktorów. Ciekawe są  
rozwiązania konstrukcyjne odwodnień przed-  
stawione na rysunkach 11 i 12. Konstrukcja  
według rysunku 11 umożliwia odprowadzenie  
wody odrzuconej siłą odśrodkową przez łoż-  
patki poprzez kanały wyfrezowane w do-  
kładkach kierownic.

Ponieważ woda zbiera się przeważnie  
u dołu osłony, tam przeto wykonywa się  
większość kanałów. Rysunek 12 pokazuje  
nam inne rozwiązanie, mianowicie, odwiro-  
wana woda wpada do specjalnych pierścienio-  
wych kanałów i zostaje doprowadzona do  
najniższego punktu cylindra. Oprócz tego  
ukształtowanie krawędzi kanału odprowadza-  
jącego parę do podgrzewania wody umożliwia  
również stałe odprowadzanie kropel wodnych.

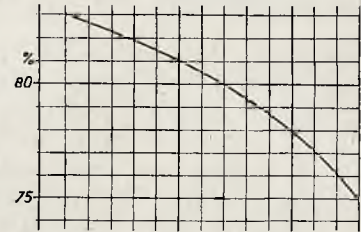
Wspomniane powyżej czynniki wywie-  
rają bardzo duży wpływ na całkowity spół-  
czynnik wydajności instalacji, niezależnie od  
tego, że przy dużych ciśnieniach pogarsza się  
znacznie sprawność łopatek, zwłaszcza dla  
małych ilości pary z powodu zbyt małych  
objętości. Dla wysokich ciśnień maleje ciepło  
właściwe pary, co pociąga za sobą spadek  
ciepłota całkowitego wraz ze wzrostem ciś-  
nienia przy stałej temperaturze; wskutek tego  
zwiększanie się spadku adyabatycznego bę-  
dzie coraz to mniejsze i osiągnąwszy maxi-  
mum, stanie się ujemne. Na wykresie entropo-  
wym rys. 7 widać wyraźnie, że proste  
równoległe do linii oznaczających próżnię  
w kondensatorze, są styczne do linii tempe-  
ratyry 450°C dla ciśnienia około 100 *ata*. Na  
rys. 13 jest podany wzrost spadku adyaba-  
tycznego, zaczynając od 50 *ata* i posuwając  
się w kierunku wzrastających ciśnień dla  
450°C i 96% próżni.

Wykreślona krzywa osiąga maximum  
o wartości 3,5% dla 100 *ata* i przecina linię  
zerową dla 170 *ata*.

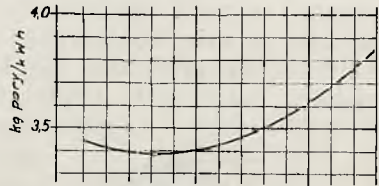
Innymi słowami nadmierny wzrost ciś-  
nienia nietylko, że nie daje nam żadnych kor-  
zyści, lecz jest zupełnie zbędny; jeśli oprócz  
tego uwzględnimy jeszcze pogorszenie się  
sprawności na sprężgle stosownie do rys. 14,  
to widzimy, że stosowanie zbyt wysokich  
ciśnień jest nawet szkodliwe dla wydajności  
instalacji. Rys. 15 podaje nam zużycie pary  
odniesione do mocy na sprężgle dla turbin  
z kondensacją i dla wspomnianych wyżej  
warunków. Najmniejsze zużycie pary mamy  
dla 80 *ata*, które zwiększa się ze wzrostem  
ciśnienia z powodów już poprzednio wymie-  
nianych.



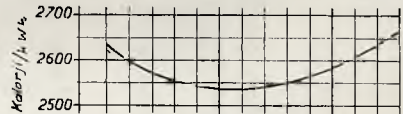
Rys. 13



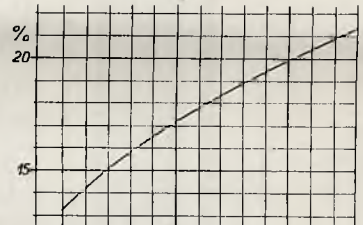
Rys. 14



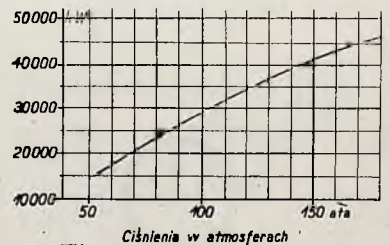
Rys. 15



Rys. 16



Rys. 17



Rys. 18

Rys. 13. Procentowy wzrost adyabatycznego spadku ciepłota dla próżni 96%

Rys. 14. Sprawność na sprężgle

Rys. 15. Zużycie pary w stosunku do mocy na sprężgle w kg na kWh

Rys. 16. Ilość kalorii odpowiadająca kWh na sprężgle

Rys. 17. Procentowa zawartość wody w parze odlotowej

Rys. 18. Moc osiągalna na sprężgle przy założeniu, że ilość pary świeżej w tn/h równa się ciśnieniu w at.

BR. CHUDZYŃSKI, inż. Sosnowiec.

# APARAT COWPER'A, JAKO NAGRZEWNICA DMUCHU WIELKOPIECOWEGO

**Obliczenie ciepła. Analiza zjawisk termicznych i fizycznych, zachodzących wewnątrz nagrzewnicy.**

Modernizacja hut żelaznych ma na celu, między innymi, możliwie daleko posunięte wyzyskanie ciepła zawartego w gazach hutniczych, w pierwszej linii w Zakładach, posiadających koksownie oraz wielkie piece, gdzie dążeniem powinno być zużywanie węgla jedynie w koksowni, przy oparciu gospodarki energetycznej wyłącznie na gazach.

Powwyższe całkiem słuszne i zrozumiałe dążenie pociąga za sobą konieczność doskonalenia sposobów wyzyskiwania ciepła, zawartego w gazach hutniczych, czyli stosowania

biegu pieca i materiałów używanych, od  $650^{\circ}$  —  $800^{\circ}$  C. Nagrzewnica Cowper'a jest to ujęta w pancierz żelazny kolumna, zakończona od góry kopułą (patrz rys. 1), wyłożona grubą warstwą cegły szamotowej i wyposażona wewnątrz w szyb szamotowy, o przekroju okrągłym, lub kształtu soczewki, wznoszącym się od dołu aż do wyjścia pod kopułę, w którym odbywa się spalanie mieszanki gazu wielkopieczowego z powietrzem.

Spaliny wznoszą się pod wpływem ciągu kominowego, przechodzą pod kopułą, oddając po drodze część ciepła i przechodzą do tak zwanej kraty, zrobionej z cegły szamotowej, a składającej się z pionowych kanalików (oczek), biegnących od kopuły aż do dolnej części nagrzewnicy. Kanaliki te zajmują całą pozostałą, po za szybem, wolną płaszczyznę przekroju aparatu, tworząc właściwy zasobnik ciepła nagrzewnicy, gdzie spaliny oddają ponad połowę zawartości ciepła. Po przejściu przez kratę, z góry na dół, spaliny uchodzą do króćca kominowego, stamtąd do wspólnego dla całej grupy aparatów czopucha, stamtąd zaś do kominu.

W dolnej części szybu, z boku mieści się otwór, do którego przystawiony jest palnik gazowy, w którym gaz miesza się z powietrzem, by zapalić się w dolnej części szybu. Palnik może być „atmosferyczny”, lub z wdmuchem powietrza od wentylatora, albo od wiatrowej maszyny wielkiego pieca. Wdmuch zastosowali pierwsi inżynierowie Pfoser, Stumm i Strack, celem przyspieszenia nagrzewania aparatu, a tem samym celem obchodzenia się dwoma tylko nagrzewnicami, zamiast poprzednio stosowanych trzech, lub czterech, co redukuje straty od promieniowania. Gdy po blisko 2 lub 3-godzinnem nagrzewaniu, aparat już przestaje wchłaniać ciepło, odstawiają dopływ gazu do palnika.

Otwór palnikowy szczelnie zamykają odpowiednią pokrywą. Zamykają również odpływ spalin do króćca kominowego, przyczem otwór do tego króćca także szczelnie odcinają. Otwierają natomiast znajdującą się u dołu aparatu, obok króćca kominowego, zasuwę „zimnego dmuchu”, od przewodu do maszyny — dmuchawy, oraz zasuwę „dmuchu gorącego”, znajdującą się na króćcu, nad otworem palnikowym, również u dołu nagrzewnicy.

Zimny dmuch, tłoczony przez dmuchawę, przechodzi przez nagrzewnicę w odwrotnym do spalin kierunku, z dołu do góry po przez kratę, pod kopułę i następnie do szybu, z góry na dół, aż do króćca „dmuchu gorącego”,

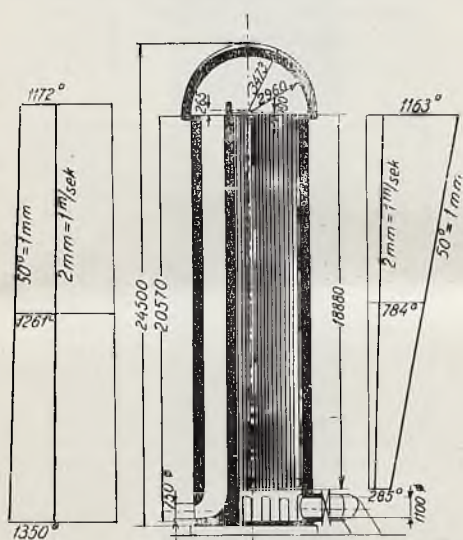
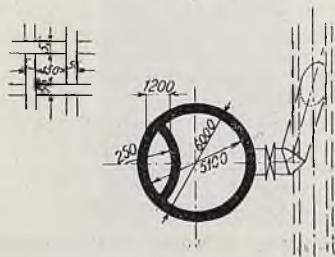


Fig. 1.



Rys. 1

spółczesnych metod czyszczenia gazów wielkopieczowych, udoskonalonych palników gazowych, wreszcie odzyskania ciepła, oraz w ostatnich czasach — podgrzewaczy powietrza do palenisk kotłowych. Dziedziną stosunkowo zaniedbaną są nagrzewnice Cowper'a.

Aparaty te służą do nagrzewania włączanego do wielkiego pieca „dmuchu zimnego” do temperatury, która się waha, zależnie od



a dalej po przez wspólny rurociąg „dmuchu gorącego” do wielkiego pieca.

Dawniej jak wyżej wspomniano, odbywało się przekładanie nagrzewnicy na powietrze, po 2 lub 3-godzinnem nagrzewaniu gazem, na przeciąg 1 godziny mniej więcej, przyczem do każdego wielkiego pieca używano grupę z 3 lub 4 nagrzewnic Cowper'a.

Rozehód gazu na nagrzewnicę Cowper'a wynosił wtedy ok. 35% og. ilości gazu z wielkiego pieca.

W wielu hutach Polskich dałyby się zaprowadzić oszczędności w zużyciu gazu w nagrzewnicach Cowper'a, a to przez zastosowanie, tak zwanego „dwuaparatowego” systemu, polegającego na tem, że w czasokresie, w którym jedna nagrzewnica oddaje ciepło dmuchowi, druga otrzymuje ciepło ze spalania gazu; zaoszczędza się przytem straty od promieniowania 1 lub 2 aparatów i straty w palnikach; następnie do oszczędności prowadzi korzystanie z udoskonalonych palników gazowych oraz z nowoczesnego czyszczenia gazów wielkopieczowych.

Przeszkodą do przejścia na system pracy tylko dwiema nagrzewnicami okazuje się zazwyczaj mała powierzchnia ogrzewana, przyczem przekracza się granicę chłonności ciepła przez wyprawę i kratę nagrzewnicy, którą niektórzy oceniają na 2000 j. c.<sup>1)</sup> z 1 m<sup>2</sup> powierzchni ogrzewanej w godzinę, podając dla niej, przy zachowaniu odpowiedniej temperatury spalin, — 1000 j. c. z 1 m<sup>2</sup> w godzinę.

Zwiększenie powierzchni ogrzewanej nagrzewnicy prowadzi do jej nadbudowy, co pociąga za sobą znaczne koszty inwestycyjne, jest jednak racjonalnem załatwieniem sprawy, przyczem koszty okupują się potem przez oszczędności, jakie można stąd osiągnąć na ilości spalane go gazu i na biegu wielkiego pieca. Tańszem wyjściem jest sprzęgnięcie w szereg dwóch nagrzewnic, zapomocą odpowiedniej przebudowy rurociągów i powiększenie w ten sposób wdwojnásób powierzchni grupy, składającej się z 2 nagrzewnic, przy pracy systemem „dwuaparatowym”, lub, w danym wypadku ściślej „dwugrupowym”. Badania, przeprowadzone nad takim systemem w Differdange, dały w pracy oszczędności nieco ponad 10% w zużyciu gazu, czyli tę ilość ciepła, jaką się traci w jednym palniku.<sup>2)</sup> System wspomniany jest więc mniej ekonomiczny, niż praca z nadbudowanymi 2 nagrzewnicami, albowiem powierzchnia promieniowania grupy jest znacznie większa od powierzchni jednej nadbudowanej nagrzewnicy; opór jest również znacznie większy, wo-

bec czego potrzebny jest dosyć silny wentylator, wdmuchujący powietrze do palnika.

Praca niniejsza ma za zadanie podać obliczenie cieplne z dziedziny gospodarki gazowej na hucie, wskazać na dzielność cieplną nagrzewnicy Cowper'a, oraz drogą analizy zjawisk, wewnątrz nagrzewnicy zachodzących, wykazać braki ich obecnego ustroju, wreszcie wykazać, że nie potrzeba sztucznego wdmuchu powietrza do palnika, owszem wystarczy wyzyskanie i ulepszenie istniejących urządzeń ciągu naturalnego, aby przyjść do pracy systemem P.S.S.<sup>1)</sup> („dwuaparatowym”), przy założeniu, że nagrzewnicę mają dostatecznie wielką powierzchnię ogrzewalną, że gaz oczyszczony jest zapomocą nowoczesnych urządzeń i że palnik pozwala na dobre mieszanie gazu z powietrzem, przyczem jego wymiary i przekroje są ustalone prawidłowo.

### Obliczenia wstępne.

Nagrzewnica, której obliczenie poniżej przytaczam, była nadbudowana prawidłowo. Nagrzewa powietrze dla wielkiego pieca produkcji ok. 110 — 115 tn surówki martinowskiej na dobę. Przy systemie P.S.S. potrzeba w ciągu godziny nagrzać w tym aparacie:

$Q_p = 350 \text{ m}^3 \times 60$  powietrza wessanego przez dmuchawę do temperatury:

$$t_p'' = 800^\circ \text{C}.$$

$t_p = 15^\circ \text{C}$  jest średnią temperaturą powietrza.

$t_p' = 40^\circ \text{C}$  „ „ „ „  
za dmuchawą.

$c_p = 0,2474$  j. c./1 kg.  $1^\circ \text{C}$  jest ciepłikiem właściwym powietrza, średnim dla temperatur między  $40^\circ \text{C}$  i  $800^\circ \text{C}$ .

Niezbędny do nagrzania powyższej ilości powietrza ciepłik w. j. c. na 1 sek. wynosi:

$$Q_{j. c.} = Q_p \gamma_p \frac{273}{3600(273 + t_p)} c_p (t_p'' - t_p') = \\ = \frac{350 \cdot 60 \cdot 1,29 \cdot 273 \cdot 0,2474 (800 - 40)}{3600 (273 + 15)}$$

$$Q_{j. c.} = 1340 \frac{j. c.}{sek.}$$

$\gamma_p = 1,29 \text{ kg/m}^3$  jest to waga właściwa powietrza przy  $0^\circ$ .

Sprawność cieplną nagrzewnicy Cowper'a przyjęto na  $\eta = 0,7$ , temperaturę oczyszczonego gazu przy wejściu do palnika — na  $t_g = 50^\circ \text{C}$

Współczynnik nadmiaru powietrza — na  $\mu = 1,3$ .

<sup>1)</sup> Patrz: „Anhaltzahlen für den Energieverbrauch in Eisenhüttenwerken”, wydane przez „Wärmestelle” w Düsseldorfie, rok 1925; str. 112.

<sup>2)</sup> Comptes Rendus du 2e Congrès du Chauffage Industriel. „Chaleur et Industrie” № 102; Octobre 1928; page 390.

<sup>1)</sup> System P.S.S. — Pfoser, Stumm, Strack, od nazwy jego twórców.



Gaz wielkopieczowy zawiera średnio przy  $0^{\circ}C$  (w  $\%$  objętości):

$$CO = 28,3$$

$$H_2 = 2,8$$

$$CO_2 = 12,5$$

$$N_2 = 54,4$$

$$H_2O = 2$$

$$100$$

Teoretyczna ilość powietrza, niezbędna do spalania gazu wynosi:

$$q = \frac{CO}{100} \cdot 2,39 + \frac{H_2}{100} \cdot 2,38 = 0,283 \cdot 2,39 + 0,028 \cdot$$

$$2,38 = 0,7427 \frac{m^3 \text{ pow.}}{1 m^3 \text{ gazu}} \text{ przy } 0^{\circ}C \text{ gazu i powietrza.}$$

$$q = 0,7427 \frac{273}{273 + 50} = 0,628 \frac{m^3 \text{ pow.}}{1 m^3 \text{ gazu}} \text{ przy}$$

$50^{\circ}C$  gazu i  $0^{\circ}$  powietrza.

Wartość opałowa gazu przy temperaturze  $t_g = 50^{\circ}C$  i temperaturze powietrza  $t_p = 15^{\circ}C$ :

$$Q'_{j.c.} Q'_{j.c.} + t_g c_g + \mu q c_p \gamma_p t_p \frac{273}{273 + t_p}, \text{ gdzie:}$$

$$Q'_{j.c.} = (3055 \cdot \frac{CO}{100} + 3041 \frac{H_2}{100}) \frac{273}{273 + t_g} =$$

$$= (3055 \cdot 0,283 + 3041 \cdot 0,028) \frac{273}{273 + 50} =$$

$$= 803 \frac{j.c.}{m^3} \text{ przy } 50^{\circ}C \text{ gazu.}$$

$$Q''_{j.c.} = 803 + 50 \cdot 0,39 + 1,3 \cdot 0,628 \cdot 0,241 \cdot 1,223 \cdot$$

$$0,15 = 826,12 \frac{j.c.}{1 m^3} \text{ gazu przy } 50^{\circ}C \text{ gazu i } 15^{\circ}C$$

powietrza.

Ciepłota właściwa powietrza

$$c_p = 0,241 \frac{j.c.}{1 kg 1^{\circ}C} \text{ przy temperaturze } 15^{\circ}C$$

$$\text{Ciepłota właściwa gazu: } c_g = (0,283 + 0,544) 0,313 + 0,028 \cdot 0,308 + 0,125 \cdot 0,4035 +$$

$$+ 0,02 \cdot 0,2725 = 0,39263 \frac{j.c.}{1 m^3 1^{\circ}C}$$

Ciepłota właściwa gazu przy  $0^{\circ}C$  —  $\gamma_g$ :

$$\text{Waga } CO = 1,251 \cdot 0,283 = 0,3545$$

$$H_2 = 0,089 \cdot 0,028 = 0,00249$$

$$CO_2 = 1,966 \cdot 0,125 = 0,2445$$

$$N_2 = 1,251 \cdot 0,544 = 0,68$$

$$H_2O = 0,00488 \cdot 0,02 = 0,0000976$$

$$\gamma_g = 1,2826876 \text{ kg/m}^3$$

przy  $0^{\circ}C$ , albo:

$$\gamma_g \frac{273}{273 + t_g} = 1,2825876 \frac{273}{323} = 1,085 \text{ kg/m}^3$$

przy  $50^{\circ}C$ .

Palnik powinien spalić więc gazu na 1 sekundę przy temperaturze gazu

$$t_g = 50^{\circ}C: Q_g = \frac{Q_{j.c.}}{\eta \cdot Q''_{j.c.}} = \frac{1340}{0,7 \cdot 826,12} \approx 2,33 m^3/sek$$

$$\text{wagi: } G_g = 1,085 \cdot 2,33 = 2,53 \text{ kg/sek}$$

Powietrza do spalania powyższej ilości gazu potrzeba, przy temperaturze powietrza

$$t_p = 15^{\circ}C: Q_p = Q_g \cdot q \cdot \mu \frac{273 + t_p}{273} =$$

$$= 2,33 \cdot 0,628 \cdot 1,3 \frac{273 + 15}{273} = 2,01 m^3/sek \text{ wagi:}$$

$$G_p = 2,01 \cdot 1,223 = 2,46 \text{ kg/sek}$$

Spaliny więc ważą na 1 sek.:

$$G_{sp} = G_g + G_p = 2,53 + 2,46 = 4,99 \text{ kg/sek.}$$

Objętość spalin na  $1 m^3$  gazu:

Od spalania  $0,283 m^3 CO$  otrzymuje się  $0,283 m^3 CO_2$

$0,544 m^3$  azotu  $N_2$  w spaliniach pozostaje  $0,544 m^3 N_2$

Namiar powietrza w spal.  $0,628 \cdot 0,3$  pozostaje  $0,1885 m^3$  powietrza

Para wodna  $H_2O$  w spaliniach pozostaje  $0,02 m^3 HO_2$

Kwas węglowy  $CO_2$  w spaliniach pozostaje  $0,125 m^3 C_2O$

Azot z powietrza  $N_2$  w spaliniach  $0,628 \cdot 0,79$  pozostaje  $0,496 m^3 N_2$

Ogółem na  $1 m^3$  gazu spalin przy  $0^{\circ}C$  —  $1,6565 m^3$

Przyjęto à priori temperaturę spalania gazu

$$t_{sp} = 1350^{\circ}C$$

Przy tej temperaturze na  $m^3$  gazu przypada spalin

$$1,6565 \cdot \frac{1623}{273} = 9,85 m^2/m^3 \text{ gazu}$$

Do tej ilości dochodzi para wodna od spalania wodoru:

$$9 H_2 \gamma_w v_{100} \cdot \frac{t_{sp} + 273}{100 + 273} =$$

$$= 9 \cdot 0,028 \cdot 0,089 \cdot 1,67 \cdot \frac{1623}{373} = 0,163 m^2/m^3 \text{ gazu}$$

Gdzie waga właściwa wodoru

$$\gamma_w = 0,089 \text{ kg/m}^3 \text{ przy } 0^{\circ}C$$

Objętość właściwa pary wodnej przy

$$100^{\circ}C - v_{100} = 1,67 \frac{m^3}{kg}$$



Razem więc objętość spalin na  $m^3$  gazu przy  $1350^\circ C$  wynosi:

$$Q'_{sp} = 9,85 + 0,163 = 10,013 m^3$$

Całkowita ilość spalin na 1 sek.

$$Q_{sp} = Q'_{sp} \times Q_g \frac{273}{t_g + 273} =$$

$$= 10,013 \cdot 2,33 \frac{273}{50 + 273} = 19,75 m^3/sec. \text{ przy } 1350^\circ C$$

Ciężar właściwy spalin:

$$\gamma_{sp} = \frac{G_{sp}}{Q_{sp}} = \frac{4,99}{19,75} \approx 0,253 kg/m^3 \text{ przy } 1350^\circ C$$

Albo

$$\gamma_{sp_0} = 0,253 \frac{1623}{273} \approx 1,5 kg/m^3 \text{ przy } 0^\circ C$$

Analiza spalin przy  $0^\circ C$ :

$$CO_2 = \frac{0,283 + 0,125}{Q'_{sp} \frac{273}{t_{sp} + 273}} =$$

$$= \frac{0,408}{10,013 \frac{273}{1623}} = 0,243 \text{ czyli } 24,3\%$$

$$N_2 = \frac{1,04 + 0,79 \cdot 0,1885}{1,685} = 0,705 \text{ czyli } 70,5\%$$

$$H_2O = \frac{0,02 \cdot 1623}{273} + 0,163 = 0,2818;$$

$$\frac{0,2818 \cdot 273}{1623} = 0,0474; \frac{0,0474}{1,685} = 0,0282 \text{ czyli } 2,82\%$$

$$O_2 = \frac{0,1885 \cdot 0,21}{1,685} = 0,02345 \text{ czyli } 2,345\%$$

Ciepłik właściwy spalin przy  $1350^\circ C$ :

$$CO_2 = 0,243 \cdot 0,528 = 0,1283$$

$$N_2 = 0,705$$

$$O_2 = \frac{0,02345}{0,72845 \cdot 0,339} = 0,2465$$

$$H_2O = 0,0282 \cdot 0,4155 = 0,0117$$

$$c_{sp} = 0,3865 j.c./1m^3 \text{ przy } 1350^\circ C$$

albo

$$c_{sp} = \frac{0,3865}{0,253 \frac{1623}{273}} = 0,257 j.c./kg. \text{ przy } 1350^\circ C$$

Ciepłik właściwy spalin przy  $0^\circ C$ :

$$CO_2 = 0,243 \cdot 0,397 = 0,0964$$

$$N_2 = 0,705$$

$$O_2 = 0,02345$$

$$0,72845 \cdot 0,312 = 0,2265$$

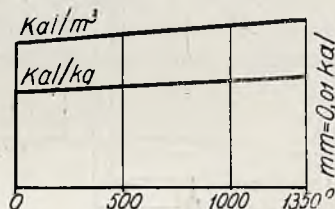
$$H_2O = 0,0282 \cdot 0,372 = 0,0105$$

$$C_{sp} = 0,3334 j.c./m^3 \text{ przy } 0_0$$

albo:

$$C_{sp} = \frac{0,3334}{0,253 \frac{1623}{273}} = 0,222 j.c./1 kg \text{ przy } 0^\circ C$$

Wykreślony w postaci prostych wykres ciepłików właściwych spalin dla  $m^3$  spalin i dla 1 kg spalin (rys. 2), między temperaturami  $0^\circ C$  i  $1350^\circ C$  daje możliwość określenia ciepłików właściwych spalin graficznie dla temperatur pośrednich.



Rys. 2

**Obliczenie cieplne nagrzewnicy Cowper'a.**

Temperatura spalania gazu:

$$t_{sp} = \frac{Q''_{j.c.} Q_g \eta'_1}{G_{sp} c_{sp}} = \frac{826,12 \cdot 2,33 \cdot 0,895}{4,99 \cdot 0,257} \approx 1350^\circ C$$

$\eta'_1 = 0,895$  jest współczynnikiem, określającym straty w samym palniku. Współczynnik ten przyjęto dosyć ostrożnie, wobec stosowanych dzisiaj nie wszędzie jeszcze udoskonalonych palników, nie zawsze gwarantujących zupełne spalanie, pozatem powodujących straty ciepła przez promieniowanie i zasysanie powietrza przez nieszczelności:

Ciepło zatem otrzymane od spalania ilości  $Q_g = 2,33 m^3/sec.$  gazu wielkopieczowego, o temperaturze  $t_g = 50^\circ C$ , z powietrzem o temperaturze  $t_p = 15^\circ C$  wynosi:

$$Q_1 = Q''_{j.c.} Q_g = 826,12 \cdot 2,33 = 1925 j.c./sek.$$

Z tej ilości zginęło w palniku:

$$Q_1 (1 - \eta'_1) = 1925 (1 - 0,895) = 205 j.c./sek.$$

Reszta ciepła wraz ze spalinami przeszła do dalszych części powierzchni ogrzanej nagrzewnicy:

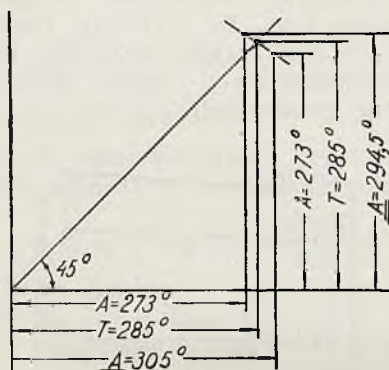
$$\eta'_1 Q_1 = 1925 \cdot 0,895 = 1720 j.c./sek.$$



### Określenie temperatur w szybie nagrzewnicy.

Przy obliczaniu dalszych temperatur wewnątrz nagrzewnicy stosowaną jest metoda rachunku kołowego, który polega na tym, że poszukiwana końcowa temperatura pewnej sekcji powierzchni ogrzanej przyjmuje się *à priori*; na zasadzie tej przyjętej temperatury przeprowadza się dalszy rachunek celem własnie jej obliczenia, poczem jako ostateczny wynik otrzymuje się poszukiwana temperatura, która była uprzednio przyjęta, przyczem obliczowana temperatura i przyjęta powinny być identyczne.

Rachunek podobny przeprowadza się najlepiej wykreślnie, jak następuje (patrz rys. 3): przyjmuje się temperaturę  $\underline{A}$  i według niej znajduje się temperaturę  $\overline{A}$ . Temperaturę



Rys. 3

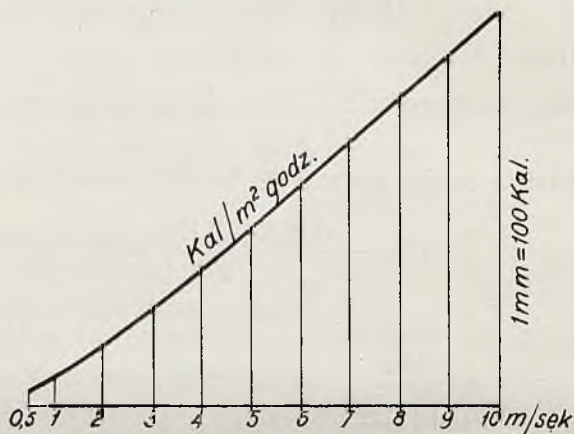
$\underline{A}$  odkłada się w skali na linii odciętych, zaś temperaturę  $\overline{A}$ , jako jej rzędną. Następnie znalezioną temperaturę  $\overline{A}$  zakłada się, a oblicza się nową temperaturę  $\underline{A}$ . Temperaturę  $\underline{A}$  odkłada się na linii odciętych, jako jej zaś rzędną temperaturę  $\overline{A}$ . Obie rzędne łączy się prostą i na przecięciu tej prostej z prostą przeprowadzoną pod kątem  $45^\circ$  przez punkt przecięcia osi współrzędnych otrzymuje się punkt, którego współrzędne są między sobą równe i stanowią wielkość poszukiwanej temperatury w końcu sekcji.

Podstawą rachunku temperatur spalin, oraz ciepła, oddanego przez spalinę zaprawie aparatu, jest współczynnik konwekcji  $K$ , mierzony w kalorjach na 1 godzinę, na 1 metr kwadratowy powierzchni ogrzanej i na  $1^\circ\text{C}$  różnicy temperatur: spalin, lub ewentualnie powietrza i powierzchni wyprawy. Brakuje dokładnych danych dla współczynnika  $K$  dla wysokich temperatur, trudne są bowiem do określenia temperatury powierzchni wyprawy, a zatem i różnica temperatur spalin, ew. powietrza, i powierzchni ogrzanej. Ponieważ jednak  $K$  jest funkcją szybkości przepływu spalin, lub ew. powietrza w kanałach wzdłuż powierzchni ogrzanej, to na zasadzie pomiarów ilości spalin, ew. nagrzanego powietrza,

pomiaru ich temperatur i obliczenia odnośnych szybkości, zestawiono tabelę poniższą utylizacji ciepła przez powierzchnię ogrzaną, przy wysokich temperaturach, w zależności od szybkości przyływu spalin, ew. powietrza<sup>1)</sup>.

$v$ m/sec.	0,5	1,0	2,0	3,0	5,0	10,0	15
Przeszło ciepła w jedn. ciepln. na $1\text{ m}^2$ godzinę	300	600	1200	2000	3600	8000	13000

Na zasadzie tabeli powyższej zbudowany jest załączony wykres (rys. 4), z którego w skali brane są ilości ciepła pośrednie, między cyframi tabelicy.



Rys. 4.

Przekrój (eliptyczny) szybu aparatu, o którym mowa (patrz. rys. I), wynosi:  $F_{sz} = 2,584\text{ m}^2$ ; obwód przekroju  $S_{sz} = 7,04\text{ m}$ ; wysokość szybu  $H_{sz} = 20,97\text{ m}$  (wraz z nadbudową).

Po dwóch przybliżonych obliczeniach, wykreślnie, sposobem wyżej podanym otrzymana została rzeczywista temperatura w końcu szybu u wyjścia do kopuły. Poczem z rzeczywistą temperaturą przeprowadzono niższy rachunek repartycji ciepła w tej sekcji:

Rzeczywista temperatura w końcu szybu:

$$t''_{sz} = 1172^\circ\text{ C.}$$

Średnia temperatura w szybie:

$$t_{sz} = \frac{1350 + 1172}{2} = 1261^\circ\text{ C.}$$

Średnia szybkość spalin w szybie:

$$v_{sz} = \frac{Q_{sp} (273 + t_{sz})}{(273 + t_{sp}) F_{sz}}$$

$$v_{sz} = \frac{19,75 (273 + 1261)}{(273 + 1350) 2,584 \cdot 0,96} \approx 7,55\text{ m/sec.}$$

<sup>1)</sup> Patrz: „Hütte, Taschenbuch für Eisenhüttenleute“, wydanie drugie z 1922 r. str. 253.



Z wykresu dla  $v = 7,55 \text{ m/sek.}$  wzięto ilość kaloryj, która na 1 godzinę i  $1 \text{ m}^2$  powierzchni ogrzanej przeszły ze spalin do zaprawy:

$$k_{sz} \approx 5800 \frac{\text{j. c.}}{\text{godz./m}^2}$$

Stąd całkowita ilość ciepła, oddanego zaprawie przez spaliny na 1 sek:

$$Q_{sz} = \frac{k_{sz} F}{3600} = \frac{5800 \cdot 7,04 \cdot 20,97}{3600} \approx 241 \frac{\text{j. c.}}{\text{sek.}}$$

Gdzie  $F = 7,04 \cdot 20,97 = 148 \text{ m}^2$  jest powierzchnią ogrzającą szybu (wraz z nadbudową w kopule).

Strata ciepła przez promieniowanie zewnętrznej powierzchni nagrzewnicy na części, przylegającej do szybu, na 1 sek:

$$P' = F_{zewn.} p = 4,4 \times 20,77 \times \frac{700}{3600} = 17,75 \frac{\text{j. c.}}{\text{sek.}}$$

gdzie  $p = 700 \frac{\text{j. c.}}{\text{godz./m}^2}$ <sup>1)</sup> jest ciepłem odda-

<sup>1)</sup> Patrz: „Anhaltzahlen für den Energieverbrauch in Eisenhüttenwerken“ wydane przez „Wärmestelle“ Düsseldorf 1925 r., str. 12.

nem nazewnątrz przez  $m^2$  pow. zewn. nagrzewnicy na 1 godzinę—cyfra którą można przyjąć dla dobrze wyzyskanej powierzchni ogrzanej.

Ogółem ze spalin ubyło ciepło:

$$Q_{sz} = 241 + 17,75 = 258,75 \frac{\text{j. c.}}{\text{sec.}}$$

W spalinach pozostało ciepła:

$$\eta^1 Q_1 - Q_{sz} = 1720 - 258,75 = 1461,25 \frac{\text{j. c.}}{\text{sec.}}$$

Temperatura spalin w końcu szybu:

$$t_{sz}^1 = \frac{\eta^1 Q_1 - Q_{sz}}{G_{sp} c_{sp}} = \frac{1461,25}{4,99 \cdot 0,25} \approx 1172^\circ \text{ C,}$$

czyli to samo, co było założone wyżej.

$c_{sp} = 0,25 \frac{\text{j. c.}}{\text{kg}}$  jest ciepłikiem właściwym

spalin przy średniej temperaturze w szybie  $t_{sz} = 1261^\circ \text{ C}$ , wziętym z wykresu.

W podobny sposób obliczono oddanie ciepła w dalszych sekcjach nagrzewnicy.

(D. c. n.)

Prof. Cz. GRABOWSKI.

## ZASADY HYDRAULICZNEJ TEORJI CIĄGU NATURALNEGO

(Por. Technika Ciepłna, str. 147, 1930).

### 9. Prądy naturalne w suszarniach.

W piecach do wypalania cegły, o których mowa była w rozdziale 8<sup>1)</sup>, ciepło gazów odlotowych staramy się wyzyskać w celu wysuszenia cegły, tj. w celu oddestylowania z niej wody w prądzie owych ostudzonych gazów spalinowych<sup>2)</sup>. Jest to proces zupełnie analogiczny do procesu suszenia w prądzie gorącego powietrza owoców, warzyw lub preparatów chemicznych: polega on na stopniowym nasycaniu suszającego gazu (t.zw. gazu obojętnego) parą wodną, wydzielającą się ze suszonego materiału. Ponieważ  $\text{H}_2\text{O}$  posiada ciężar molowy 18, powietrze przeciętne ciężar molowy 29, a gazy spalinowe około 30, więc powstaje pytanie, czy

rzeczywiście<sup>1)</sup> ciężar właściwy gazów w miarę przepływu przez suszarnię wzrasta, tj. czy wzrost tego ciężaru wskutek chłodzenia jest większy, niż spadek wskutek nasycania się parą wodną. Aby na pytanie to dać dokładną odpowiedź, podaję poniżej krótki zarys teorii suszarnictwa w oświetleniu graficznym<sup>2)</sup>.

Prądy gazów przepływające przez suszarnię podlegają tym samym prawom ciągu, co i prądy gazów pod kotłami parowemi; absolutne ciśnienie tych gazów w miarę przepływu przez suszarnię zwykle spada nieznacznie, dla tego też mamy cały szereg racjonalnie skonstruowanych suszarni, które pracują przy pomocy ciągu naturalnego. Lecz suszarnia od kotła parowego różni się tem,

<sup>1)</sup> T.j. w piecach pierścieniowych typu Hofmanna (rys. 24 i nast.); to samo stosuje się i do pieców t. zw. tunelowych, tj. z tunelem prostoliniowym.

<sup>2)</sup> Które z chemicznego punktu widzenia w danym wypadku będą dla wody gazami obojętnymi.

<sup>1)</sup> Jak to przyjmowaliśmy w rozdziale poprzednim, mówiąc o komorach pieców pierścieniowych naładowanych świeżą cegłą.

<sup>2)</sup> Wykładanej przezemnie w kursie maszynoznawstwa chemicznego na wydziale chemicznym politechniki warszawskiej.



że ilość gazów w miarę przepływu przez suszarnię wskutek nasycania się parą wodną wzrasta, a z tego powodu ciśnienie cząstkowe suszającego gazu obojętnego wyraźnie spada i spadek ten w znacznym stopniu wypełnia para wodna<sup>1)</sup> oddestylowana z ciała suszonego. Destylacja ta niekiedy wymaga głębszych rozkładów chemicznych ciał suszonych, najczęściej jednak sprowadza się do zwykłego parowania wody z roztworów, któremi wypełnione są pory lub (w produktach pochodzenia roślinnego) komórki ciał suszonych. Jeżeli mamy do czynienia z roztworem, to prężność pary nie odpowiada temperaturze roztworu, lecz jest niższa odpowiednio do stężenia tego roztworu<sup>2)</sup>, a zatem jest to para przegrzana, ponieważ zaś roztwór musi posiadać temperaturę niższą od temperatury gazu suszającego<sup>3)</sup>, więc pomiędzy gazem i parą wodną musi zachodzić dalsza wymiana ciepła, a więc otrzymamy dalsze przegrzanie pary. Tak więc w gazach suszących para wodna znajduje się musi w stanie przegrzanym<sup>4)</sup>.

Parowanie wody, która wydzieliła się z suszonego materiału, i następne przegrzewanie otrzymanej pary, jak już mówiliśmy wyżej, odbywa się kosztem ciepła zawartego w gazie obojętnym, który zatem odpowiednią ilość tego ciepła zawierać w sobie powinien<sup>5)</sup>. A zatem ze względu na sposób, w jaki ów gaz ciepło otrzymuje, suszarnie podzielić możemy na dwa zasadnicze typy:

1) suszarnie, w których do komory suszącej gaz obojętny wchodzi z całą ilością ciepła, potrzebną do procesu suszenia<sup>6)</sup>,

<sup>1)</sup> A czasami i inne gazy.

<sup>2)</sup> Obniżenie to w pierwszym przybliżeniu określa jedno z podstawowych praw chemii fizycznej, mianowicie prawo Raoula:  $p = f \cdot n$  (88) gdzie  $p$  — ciśnienie cząstkowe badanego składnika (a dla roztworu wodnego ciał stałych obniżona prężność pary wodnej)  $n$  — stężenie molowe względne składnika w cieczy,  $f$  — prężność pary czystego składnika w danej temperaturze. Od prawa tego mamy jednak bardzo liczne odchylenia wskutek powstawania w roztworach połączeń chemicznych.

<sup>3)</sup> W przeciwnym bowiem razie z braku wymiany ciepła pomiędzy gazem a roztworem parowanie odbywało by się kosztem zawartości ciepła samego roztworu, a więc spowodowałoby spadek temperatury roztworu.

<sup>4)</sup> W suszarniach przeciwprądowych gazy odlotowe ogrzewają przedewszystkiem sam towar suszony i w ogrzewaniu tem bierze udział również i para wodna w gazie tym zawarta. Dla tego też u wylotu z suszarni para ta nie tylko może przejść w stan nasyconia, ale w niektórych wypadkach nawet skrapla się częściowo na powierzchni suszonego materiału.

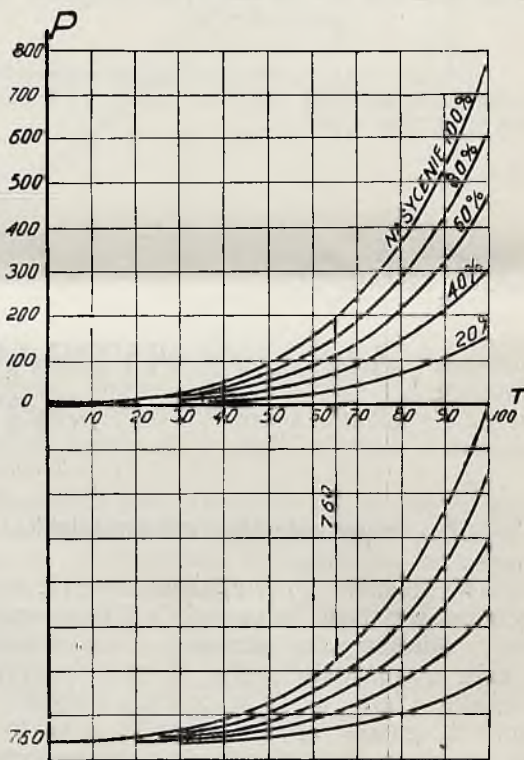
<sup>5)</sup> Wyjątek stanowią suszarnie specjalne, w których ciało suszone ogrzewane bywa bezpośrednio (przeponowo) z innego źródła ciepła.

<sup>6)</sup> Ciepło to gaz mógł otrzymać: a) albo w specjalnym aparacie, stanowiącym integralną część suszarni, np. z ogrzewaniem gazami spalninowymi lub parą wodną, b) albo niezależnie od suszarni. Do tego ostatniego typu należą gazy odlotowe z pod kotłów parowych i z pieców stosowane do celów suszarniczych. Typ pośredni stanowią suszarnie ogrzewane gazami spalninowymi, utrzymanymi bezpośrednio ze specjalnych palenisk, stanowiących również integralną część suszarni.

2) suszarnie, w których w samej komorze suszącej gaz (najczęściej powietrze) ogrzewa się stopniowo zapomocą specjalnych kaloryferów. W rozdziale niniejszym głównie suszarnie pierwszego typu mieć będą na myśli, gdyż w suszarniach takich (jak to zaznaczyłem na wstępie) w miarę przepływu gazu obojętnego przez towar suszony temperatura tego gazu stopniowo spada.

Pragnąc sformułować matematycznie wyżej omówione zjawiska cieplne, które zachodzą w suszarniach, skonstruowałem 3 następujące zasadnicze wykresy<sup>1)</sup>.

Wykresy I, II i III (rys. 34, 35, 36) charakteryzują własności pary wodnej i powietrza (lub innego gazu obojętnego), jako składowych części gazów, które przepływają przez suszarnię: górne części tych wykresów stosują się do pary wodnej, dolne do powietrza; we wszystkich trzech wykresach oś pozioma jest osią temperatur  $^{\circ}\text{C}$ . Na wykresie I (rys. 34) odkładam 1) prężności pary



Rys. 34. Wykres prężności pary wodnej w powietrzu w zależności od stanu nasyconia tej pary i temperatury, przy stałym ciśnieniu  $p = 760 \text{ mm}$

wodnej nasyconej (jako funkcje temperatury) oraz 2) ciśnienia tej pary, stanowiące 80, 60, 40 i 20% wymienionej prężności. Będą to

<sup>1)</sup> Wykresy te wykonane zostały w zakładzie maszynoznawstwa og. i chem. politechn. warsz. pod moim kierownictwem w pracach dyplomowych (obecnie już inżynierów chemików) p. kpt. Erasma Fonberga i p. Zofji Metzówny. W artykule niniejszym podaję właściwie schematy wymienionych wykresów i pomijam cały szereg szczegółów, dotyczących obliczeń, na których wykresy te są oparte, jak np. pomijam sprawę ciepła właściwego pary przegrzanej pod ciśnieniem niższym od atmosferycznego.



zatem prężności pary wodnej nasyconej w temperaturach niższych a następnie odpowiednio przegrzanej, lub jak przyjęto wyrażać się w technice suszarniczej, — będą to ciśnienia tej pary odpowiadające pewnym % nasyceń. Ogólne ciśnienie w suszarni przyjmuję  $P = 760 \text{ mm Hg}$ . Dolną część wykresu stanowią ciśnienia cząstkowe powietrza, które wraz z wyżej omówionymi ciśnieniami pary wodnej dają w sumie ciśnienie  $P$ .

Na podstawie wykresu I możemy obliczyć ilości  $G \text{ kg}$  pary wodnej, przypadające na  $1 \text{ kg}$  gazu obojętnego. A mianowicie, jeżeli oznaczymy ciśnienia cząstkowe pary wodnej i powietrza  $p_w$  i  $p_p$ , ciężary molowe przyjmujemy 18 i 29, to liczby moli tych gazów w pewnym miejscu suszarni według prawa Daltona będą

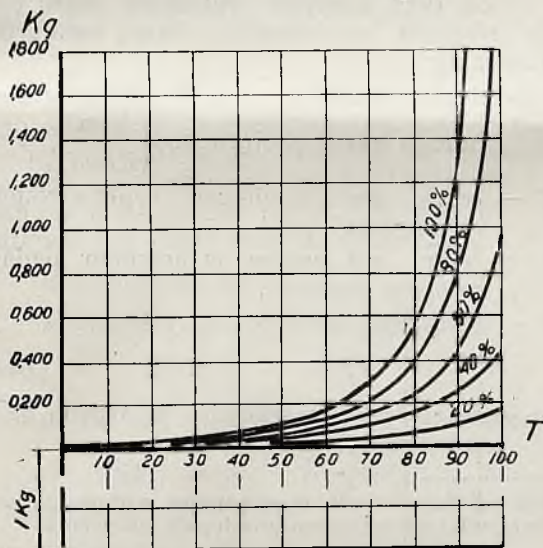
$$n_w : n_p = p_w : p_p,$$

a zatem

$$G = 18n_w : 29n_p = 18p_w : 29p_p \quad (89)$$

Zależności te dla różnych temperatur i różnych % nasyceń wyraża nam wykres II (rys. 35). Gdy

$$p_w = P, \quad p_p = 0, \quad G = \infty,$$

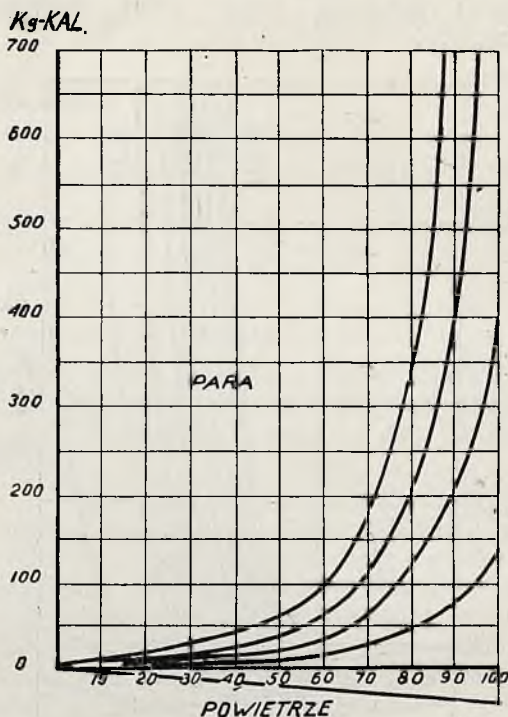


Rys. 35. Wykres ilości pary wodnej w  $\text{kg}$  przypadającej na  $1 \text{ kg}$  powietrza w zależności od stopnia nasyceń pary wodnej i temperatury przy stałym ciśnieniu  $p = 760 \text{ mm}$

a) zatem w odpowiednich temperaturach krzywe zbliżają się asymptotycznie do rzędnych pionowych<sup>1)</sup>.

Wreszcie wykres III wyraża nam ilości ciepła, odpowiadające ściśle krzywom wykresu II (rys. 36); w dolnej części mamy zawartości ciepła w  $1 \text{ kg}$  powietrza, w górnej zawartości ciepła w  $G \text{ kg}$  pary wodnej przy różnych % nasyceń. Ten sam wykres po-

dany został powtórnie na rys. 37 w nieco szerszym zakresie (do  $150^\circ$  zamiast  $100^\circ$ )



Rys. 36. Ilości ciepła zawartej w parze wodnej odpowiadającej  $1 \text{ kg}$  powietrza przy różnych nasyceń i temperaturach

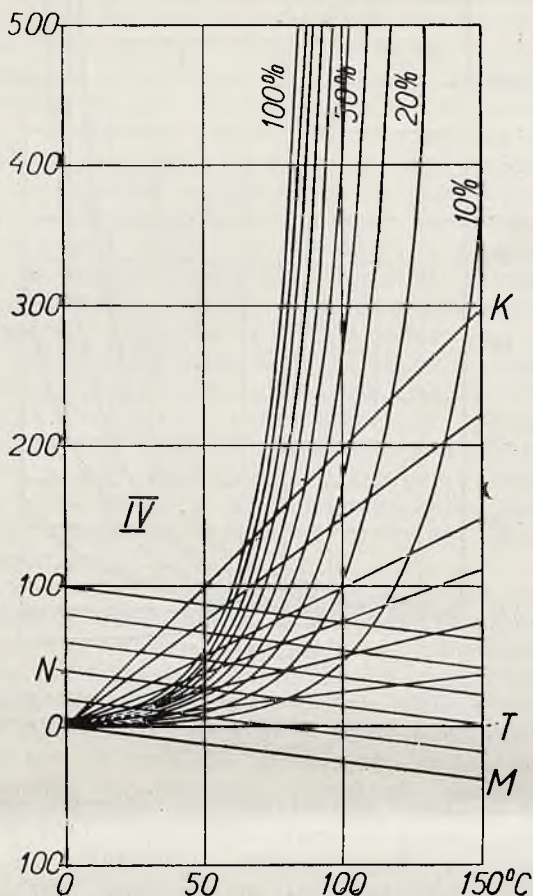
i z pewnymi uzupełnieniami. Krzywą zawartości ciepła w gazie obojętnym  $OM$  przyjmuję za linię prostą. Zakładam, że gaz wchodzi do suszarni np. w temp.  $150^\circ$ . Pomijając zużycie ciepła 1) na ograniczenie części stałych suszonego materiału, 2) na straty wskutek nieidealnej izolacji, — dochodzę do wniosku, że proces nasyceń gazu parą wodną zachodzić będzie wzdłuż linii  $TN$  (teoretycznie do krzywej  $100\%$  nasyceń) Równoległe do  $MO$  i  $TN$  na rys. 37 mamy cały szereg prostych: jedna z nich odpowiada  $100 \text{ Kcal}$  wprowadzonym do suszarni z  $1 \text{ kg}$  gazu obojętnego<sup>1)</sup>.

<sup>1)</sup> Wyżej omówione proste (odpowiadające pewnej ściśle określonej ilości kalorii, wprowadzonych z  $1 \text{ kg}$  gazu obojętnego, pokazują wyraźnie, że efekt cieplny  $1 \text{ kg}$  gazu będzie tem większy, im wyższa jest temperatura wchodzącego gazu. Pewną wątpliwość w tej sprawie nasuwa ta okoliczność, że nasyceń graniczne ( $100\%$ ) dla linii wyżej położonych (tj. odpowiadających większej pierwotnej zawartości ciepła) odpowiadać będzie wyższym temperaturom, a więc większym stratom ciepła w gazie obojętnym, uchodzącym z suszarni. Aby wątpliwość tę wyjaśnić na rys. 37 z punktu  $O$  przeprowadzono szereg promieni, przr.  $OK$ : są to linie jednakowego ciepłnego skutku użytecznego suszarni, tj. jednakowego stosunku pomiędzy zawartością ciepła w  $1 \text{ kg}$  gazu obojętnego i  $G \text{ kg}$  pary  $H_2O$ . Im pod większym kątem biegnie promień, tem wyższy jest skutek cieplny  $1 \text{ kg}$  gazu. Uwzględniając zatem owe „promienie” dojdziemy z rys. 37 do wniosku, że im więcej kalorii wprowadzimy do suszarni, tem wyższy będzie skutek cieplny pracy gazu dla pewnego określonego stopnia nasyceń

<sup>1)</sup> Czego nie widać z rys. 35.



A zatem prosta  $TN$  i inne jej równoległe charakteryzują nam (w pierwszym przybliżeniu) przebieg pracy gazu obojętnego w suszarni.

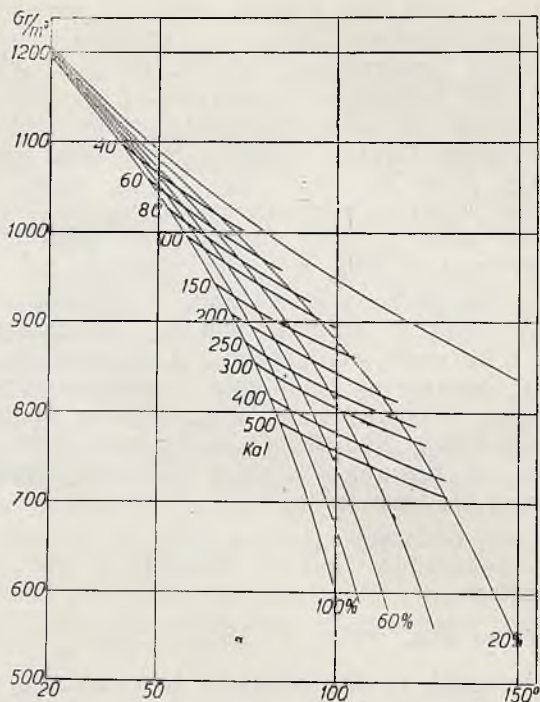


Rys. 37

Dla linii  $TN$  skonstruowałem wykres IV (rys. 38) ciężarów właściwych gazu nasyconego parą wodną w różnych stopniach (20—100%). Na osi poziomej mamy tu jak zawsze temperatury, na osi pionowej ciężary wł. gazu w  $gr/m^3$ , a następnie dwie wiązanki krzywych: jedna — (opracowana na podstawie wykresu I<sup>1)</sup>) pokazuje nam zależności pomiędzy ciężarami właściwymi i stopniem nasycenia gazu parą wodną; na tych krzywych (na zasadzie wykresu III rys. 37) wyznaczone zostały punkty odpowiadające prostym  $TN$  dla różnych ilości kaloryj (40—500) wprowadzonych z 1  $kg$  powietrza, a punkty w ten sposób otrzymane połączono specjalnymi grubymi krzywymi. Z wykresu tego widzimy, że gdy 1  $kg$  powietrza nasyca się parą wodną kosztem ciepła w nim zawartego, to temperatura otrzymanego gazu opada a ciężar właściwy wzrasta<sup>2)</sup>.

<sup>1)</sup> W założeniu, że 1 mol  $gr$  gazu w 0° pod ciśn 760  $mm$   $G_g$  zajmuje obj. 22,4 litr.

<sup>2)</sup> Z zestawienia wykresów III i II można wywnioskować, ile wody może odparować w suszarni 1  $kg$  powietrza, zależnie od temperatury początkowej



Rys. 38

Do tych samych wniosków dojść możemy również bezpośrednio drogą analityczną. Oznaczmy

$c$  — ciepło właściwe 1 mola powietrza lub innego gazu obojętnego  $\left(\frac{Kcal}{Kmol}\right)$ ,

$T$  — temp. *abs* powietrza wprowadzonego do suszarni,

$t$  — temp. *abs* gazów w pewnym badanym miejscu suszarni,

$P$  — ciśnienie sumaryczne tych gazów

$$(P = \sim 1 atm),$$

$p_p$  — ciśnienie cząstkowe w tych gazach powietrza,

(lub od ilości ciepła dodatkowego wprowadzonego do suszarni i od ostatecznego stopnia nasycenia.

Metoda wyżej opisana stanowi dalsze rozwinięcie analogicznego ujęcia destylacji z parą wodną; ogłoszonego przeze mnie w artykule.

„Destylacja z parą wodną w oświetleniu graficznym“ (Przemysł chem. 1924 Nr. 1).

Przypuszczam, że wykresy I—IV (o których referowałem już na I Zjeździe Chemików Polskich w Warszawie, w 1923 r., lecz o których nie miałem dotąd możliwości podać bardziej szczegółowego referatu do druku) są bardziej przejrzyste i łatwiejsze do zrozumienia, niż

1) wykres Ix dla powietrza wilgotnego prof. Molliera (patrz Z. V. D. I. 1923 lub Dipl. Ing. M. Hirsch. Die Trocknentechnik. Berlin Springer 1927 str. 23,

2) lub analogiczne wykresy R. Martin'a (Chaleur et industrie 1926 str. 595 i 1927 str. 48 lub wykres L. Pierre'a (Chal. Ind. 1926 str. 570).

Mniej pełne wykresy czytelnik znajdzie w dziele Hausbranda „Das Trocknen mit Luft und Dampf“.



$(P - p_p)$  — ciśn. cząstk. pary wodnej,

$p_p : P = p$  — stężenie molowe powietrza w gazach,

$$(P - p_p) : p_p = \left( \frac{1}{p} - 1 \right) = n$$

ilość moli pary wodnej na 1 mol powietrza w gazach badanych,

$i$  — zawartość ciepła w 1 molu tej pary (tj. w temperaturze  $t$ ) liczona od  $t_0$  — abs temperatury towaru surowego,

$c (T - t_0)$  odpowiednia zawartość ciepła w 1 molu gazu obojętnego absolutnie suchego wprowadzona do suszarni.

Wtedy

$$c (T - t) = n i = \left( \frac{1}{p} - 1 \right) i \quad (89)$$

będzie to ilość ciepła, którą gaz obojętny stracił na odparowanie wody z suszonego materiału,

skąd

$$t = T - \left( \frac{1}{p} - 1 \right) \frac{i}{c} = T + \Theta - \Theta : p \quad (90),$$

gdzie

$$i : c = \Theta \quad (91)$$

będzie to ilość stopni, o jaką ostygnie 1 mol gazu obojętnego zamieniając na parę o temp.  $t$  (abs)  $n$  moli wody zawartej w suszonym towarze (co powoduje spadek stężenia tego gazu w mieszaninie do  $p$ ). Spróbujmy zorientować się, jaką wartość posiada  $\Theta$ .

Przypuśćmy, że

$$t_0 = 273 + 20^\circ, \quad t = 273 + 80^\circ,$$

wtedy

$$i = 18 (632 - 20) = 11016 \text{ Kcal/Kmol}$$

$$c = 0,24 \cdot 29 = \sim 7 \text{ Kcal/mol, stop,}$$

$$\Theta = 1573 \text{ tj. około } 1600^\circ.$$

Obliczmy teraz objętość właściwą  $v$   $m^3/kg$  gazów w badanym miejscu suszarni. Ciężar molowy mieszaniny powietrza z parą wodną ( $kg/Kmol$ ) będzie

$$M = [29 p_p + 18 (P - p_p)] : p = 18 + 11 p \quad (92),$$

a zatem w temp.  $t$  abs.

$$v = \frac{22,4 t}{273 M} \quad (93),$$

skąd

$$\frac{273 \cdot 11}{22,4} v = \frac{(T + \Theta) p - \Theta}{(1,64 + p) p} = y$$

gdzie  $y$  jest funkcją proporcjonalną do  $v$ .

A wtedy

$$\frac{dy}{dp} = \frac{1,64 \Theta + 2\Theta p - (Tp^2 + \Theta p^2)}{(1,64 p + p^2)^2} \quad (94).$$

W liczniku

$$1,64 \Theta > p^2 T$$

$$2 \Theta > p \Theta \quad (\text{gd}y\zeta \Theta > T, \text{ za} \text{ } p < 1),$$

a zatem

$$dy : dp > 0,$$

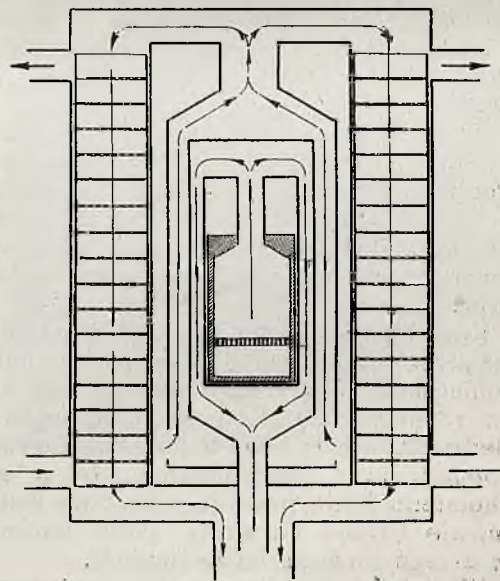
skąd

$$dv : dp > 0,$$

czyli w miarę spadku  $p$  (tj. w miarę nasykania gazu parą wodną) objętość właściwa tego gazu maleje, więc ciężar właściwy wzrasta<sup>1)</sup>.

Z przykładów w rozdziale niniejszym podanych widzimy, że ciężar właściwy gazów suszących (w suszarniach bez dodatkowego ogrzewania komory suszącej) wzrasta, a zatem suszenie odbywać się powinno w opadającym prądzie gazów.

Jako przykład suszarni z prądem nienaturalnym służyć może suszarnia Huillarda (rys. 5 rozdz. 5), która tylko dzięki energicznemu mieszananiu sypkiego towaru daje zadawalniające rezultaty. Jako przykład suszarni z racjonalnymi kierunkami gazów podać mogą suszarnię prof. Wacława Iwanowskiego (rys. 39).



Rys. 39

Na rysunku tym widzimy schemat suszarni (zwanej przez autora słupową) dwu-

<sup>1)</sup> Straty ciepła przez ściany suszarni i zużycie ciepła na podgrzanie substancji stałych suszonego towaru (czego nie uwzględniliśmy w wykładach wyżej podanych) powodują dodatkowy wzrost ciężaru właściwego gazów.



szafowej. We środku suszarni mamy palenisko; z paleniska gazy spalinowe opadając w dół ogrzewają kaloryfer, przez który w przeciwnym kierunku (a więc również w kierunku naturalnym) przechodzi ogrzewane powietrze. Z kaloryferu powietrze wchodzi do komory suszącej (szafy) wypełnionej sitami, na których leżą suszone owoce lub warzywa. Powietrze przepływa przez komorę z góry na dół (więc znów w kierunku naturalnym), a sita w przeciwnym kierunku przy pomocy specjalnej dźwigni unoszone bywają z dołu do góry: surowe owoce wprowadzamy z dołu, a wysuszone usuwamy z góry. Powietrze nasycone parą wodną wraz z gazami spalinowymi wchodzi do wspólnego komina<sup>1)</sup>.

<sup>1)</sup> Zasady racjonalnej budowy suszarni nie zyskały dotychczas prawa obywatelstwa w technice. Nawet na wystawach spotykać jeszcze w czasach

W suszarniach z dodatkowym ogrzewaniem komór suszących przy wprowadzeniu do komory dostatecznej ilości ciepła temperatura prądu gazowego utrzymuje się na stałym poziomie lub nawet podnosi się, a wtedy gazy do góry unosić się powinny.

obecnych można suszarnie (bez dodatkowego ogrzewania komory suszącej), w których gazy posiadają nieracjonalne kierunki odwrotne do kierunków w suszarni prof. Iwanowskiego (w kaloryferze powietrze posiada kierunek w dół a w komorze suszącej w górę).

Jeszcze przed wojną prof. Iwanowski (wówczas jako inżynier rosyjskiego ministerstwa rolnictwa) przeprowadził specjalne badania nad suszarniami różnych typów (z których żadna nie odpowiadała wymaganiom racjonalnego ciągu) w Humańskiej szkole rolniczej (w Zofjówce) i rezultaty ogłosił w broszurze: *Ispytanije płodowych i owośzcznych suszyłok* Petersburg 1914 (wydanie Departamentu Rolnictwa).

(D. c. n.).

## EKSPLOZJA LOKOMOBILI

Dnia 20 maja b. roku o godzinie 11 rano w południowo-wschodniej dzielnicy Kielc słyszana była dość silna detonacja, spowodowana eksplozją, przynitowanego do płaszcza lokomobili, odlewu, obejmującego cylinder, skrzynkę suwakową siłnika, oraz zawory bezpieczeństwa.

Wypadek dotyczył lokomobili na kołach z wyciągalnym systemem rurowym, zbudowanej w zagranicznej firmie w 1896 r. na ciśn. rob. 7 atn, o pow. ogrzew. 9,229 m<sup>2</sup>. Normalna ilość obrotów nie jest ściśle znana, gdyż w książce kotłowej nie podano jej.

Kocioł oddawna znajduje się pod nadzorem Stow. Dozoru Kotłów w Warszawie; w ubiegłym roku, nabyty przez Przedsiębiorstwo Robót Inżynierskich, został sprowadzony do Kielc i pracował jedynie jako kocioł z nieczynną częścią silnikową—przy budowie mostów.

Kocioł podlegał rewizji, to też właściciel został przez inż. Dozoru Kotłów powiadomiony o konieczności przedstawienia do niej kotła przed rozpoczęciem kampanji, a w braku odpowiedzi od właściciela, zostało mu wysłane przypomnienie z oznajmieniem, że w razie uruchomienia kotła, praca jego zostanie wstrzymana, nie bącząc na straty jakie właściciel kotła z tego powodu może ponieść.

Właściciel nie miał zamiaru uruchamiać kotła w najbliższej przyszłości, to też lokomobila pozostawała nadal w miejscu swego zimowego postoju, gdzie miejscowy mechanik dokonywał naprawy silnika lokomobili.

Naprawa polegała na: wylaniu babitem panewek łożysk wału korbowego i przetoczeniu ich, zmianie mosiężnych panewek korbowodu przy korbie, wylaniu babitem tulejki prowadzącej drążek suwaka, dotarciu zaw.

bezpieczeństwa, oczyszczeniu tłoka i wykonaniu różnych drobnych poprawek.

Wypadek nastąpił podczas nieobecności właściciela w Kielcach, który wyjeżdżając miał zakomunikować mechanikowi, iż przed dokonaniem urzędowej rewizji kotła uruchamiać nie można.

Mechanik jednak, pomimo zakazu rozpalania kotła, uruchomił lokomobile, aby wypróbować silnik po naprawie. Silnik pracował przy najniższym położeniu regulatora, gdyż nie był on połączony przekładnią pasową z wałem. Do chwili eksplozji lokomobila pracowała około 30 minut. Przez cały czas próby i podczas eksplozji najwyższe ciśnienie pary wynosiło — według wskazań manometru — 4 atn, a silnik wykonywał nieznaną ilość obrotów, a mianowicie, z oceny na oko, wynoszącą nie więcej jak 80 obrotów na minutę.



Rys. 1

W momencie eksplozji mechanik nie manewrował zaworem, doprowadzającym parę z kotła do skrzynki suwakowej. Silnik obracał się tak,

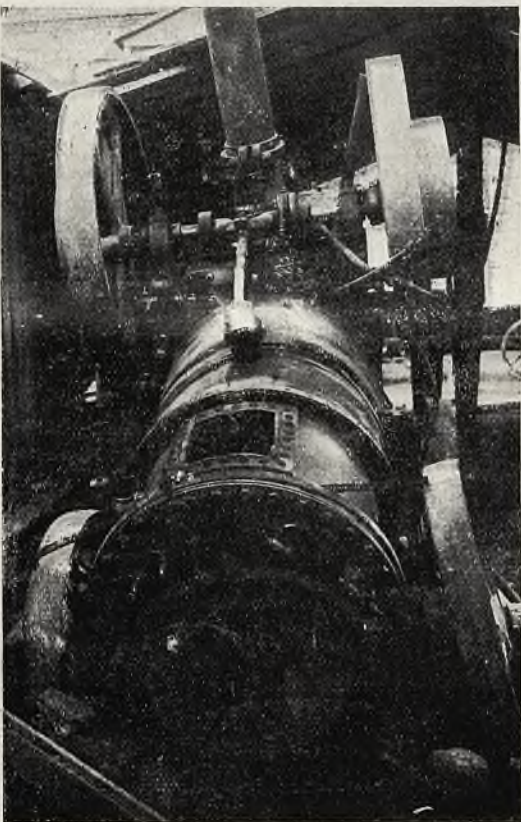


że górna część wieńca koła zamachowego miała kierunek od strony odkorbowej do strony kukorbowej.

Dane powyższe zebrano w drodze przesłuchania świadków wypadku.

Podczas oględzin miejsca wypadku, przedstawionego na fotografiach rys. 1, 2 i 3 ustalono następujące:

- 1) Lokomobila podczas eksplozji zaryła się przednimi kołami w ziemię, pochylając się na lewą stronę (ze stanowiska palacza) tak, iż przednie lewe koło pograżyło się poniżej poziomu terenu na 600 mm (rys. 1)
- 2) Z przynitowanego do płaszcza kotła odlewu, obejmującego cylinder silnika, skrzynkę suwakową i zawory bezpie-



Rys. 2

czeństwa,—pozostał tylko czworokątny kołnierz przynitowany do płaszcza kotła. Wymiary kołnierza i pęknięcia pokazano na rys. 4.

- 3) Podłużne krawędzie otworu w blasze płaszcza posiadają wygięcie ku górze:—lewa około 10 mm, prawo około 3 mm. (rys. 2).
- 4) W każdym z czterech rogów ma miejsce naderwanie blachy płaszcza kotła od krawędzi do nita.

- 5) Oberwanie piasty krzyżulca łączącej krzyżulec z drążkiem tłoka i zgięcie korbowodu.
- 6) Połamanie przewodnicy krzyżulca.
- 7) Oberwanie piasty żeliwnej przy jarzmie mimośrodowo suwakowego.
- 8) Oberwanie króćca, w którym był wkręcony manometr. Manometr wskazuje zero i zewnętrznie nie nosi śladów uszkodzenia, nawet szkło zostało przy nim całe. Załączona tabela № 1, sporządzona przy cechowaniu manometru, wykazuje, iż nawet po wypadku, niedokładność wskazań manometru nie jest znaczna.
- 9) Oberwanie smoczka (injektora).
- 10) Oderwany odlew, obejmujący cylinder i skrzynkę suwakową silnika, oraz zawory bezpieczeństwa kotła (rys 3), upadł z prawej strony kotła ku tyłowi



Rys. 3

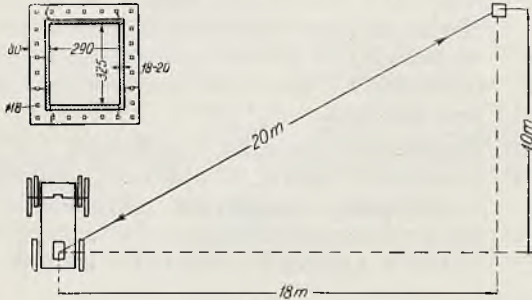
w odległości od środka kołnierza, pozostałego na kotle, przeszło 20 m, także jeżeli wymiar ten przyjąć za długość przeciwprostokątnej, to przyprostokątna prostopadła do osi kotła wynosi 18 m, a przyprostokątna równoległa do osi kotła 10 m rys. 4.

- 11) Lewa ściana (ze stanowiska palacza) odlewu, omówionego w punkcie (10), o wymiarach 335 × 220 mm, oderwała



się podczas eksplozji i wpadła, przebijając ścianę, do drewnianej szopy, obok której stoi lokomobil.

- 12) Zgięcie drążka tłoka i suwaka oraz oberwanie rury pary wylotowej.
- 13) Zawory bezpieczeństwa dźwigniowe, sprężynowe, nie posiadają rurek zabezpieczających przed zbyt dużym ciśnieniem.



Rys. 4

ciem grzybków do gniazda, a odpowiednie wymiary wynoszą: przy prawym zaworze  $h=18\text{ mm}$  i przy lewym  $h=40\text{ mm}$ , przy czym uzwojenie na śrubach przy naciąganiu sprężyn nakrętkami nie zostało na żadnym z zaworów wyczerpane.

- 14) Po odjęciu denka cylindra stwierdzono, iż tłok nie zacinał się w cylindrze. Również nie znaleziono nic nienormalnego w skrzynce suwakowej po zdjęciu jej pokrywy.
- 15) Brak nakrętek przy dławiku drążka suwakowego. Dławik wraz z częścią warokocza uszczelniającego został wypchnięty nazewnątrz.
- 16) Wszystkie pęknięcia są nowe.

Ciężkiemu poranieniu i poparzeniu uległo dwóch robotników, a mianowicie jeden uległ złamaniu kilku żeber, drugi złamaniu ręki i nogi, prócz tego kilku ludzi odniosło lekkie rany. Wszyscy poszkodowani nie należeli do obsługi lokomobil i podczas wypadku znajdowali się w pobliżu niej mniej lub więcej przypadkowo. Wybuch mógłby się zakończyć znacznie gorzej, gdyż nastąpił w czasie, kiedy robotnicy przedsiębiorstwa, na terytorjum którego stała lokomobil, mają przerwę w pracy i spożywają posiłek w pobliżu miejsca, gdzie upadł ciężki odlew w odległości około 20 m od lokomobil.

Konstrukcja maszyny jest stara i wadliwa, nie należy bowiem żeliwa przymocowywać bezpośrednio do kotła zapomocą nitów. Do kotła przymocowywane są normalnie staliwo, gdyż to znosi nitowanie, a żeliwo nie.

Dane, zebrane podczas oględzin lokomobil na miejscu wypadku, nie pozwoliły na ścisłe określenie bezpośredniej przyczyny eksplozji, pozwalają jednak stwierdzić, iż wypadek nie został spowodowany przez nadmierne wysokie ciśnienie w kotle, lecz że nastąpił skutek jakiegoś uderzenia. Z pewnym stopniem prawdopodobieństwa wypadek można przypisać jednej z trzech następujących okoliczności wyszczególnionych niżej w punktach A, B i C.

A. Część maszynową po dłuższej nieczynności (w poprzedniej kampanji lokomobil pracowała tylko jako kocioł) odremontowano. Przy montowaniu pozostawiono zbyt małą przestrzeń szkodliwą po stronie kukorbowej (tj. odległość tłoka od denka strony kukorbowej); odległość ta zmniejszała się jeszcze wskutek rozgrzewania się kotła. W chwili, kiedy omawiana odległość została całkowicie zagubiona, tłok uderzył o denko cylindra od strony kukorbowej. Działanie było tem silniejsze, iż wywołane zostało przez uderzenie tłoka w denko cylindra od strony kukorbowej przy maksymalnym napełnieniu (najniższe położenie nieczynnego regulatora) i następne szarpnięcie korbowału (2 koła zamachowe). Lewa ściana oderwać się mogła od pozostałej części odlewu w chwili odrywania się odlewu od płaszcza kotła.

Z powyższym przypuszczeniem odnośnie przebiegu wypadku zgadza się kierunek, w którym został odrzucony odlew: prawą stronę zawdzięcza się działaniu reakcji podczas odrywania się lewej ścianki, kierunek zaś ku tyłowi wywołało szarpnięcie korby w martwym punkcie kukorbowym. Zgięcie korbowału ku prawej stronie nastąpiło w chwili odrywania się od krzyżulca drąga tłokowego.

Charakter uszkodzenia płaszcza kotła, opisany w punkcie 3 i 4 zgadza się również z powyższym przypuszczeniem. Ani jednak na denku od strony kukorbowej, odlanym łącznie z cylindrem, ani na tłoku, jakoteż i na drążku tłokowym przy połączeniu z tłokiem, niema śladów uderzeń, co może jednak nie przeczyć przytoczonemu przypuszczeniu przyczyny wypadku, gdyż i wewnętrzna strona denka jakoteż i odpowiednia ścianka tłoka są zupełnie płaskie, a przejście od tłoka do drążka tłokowego jest skutecznie wyrażnie pod prostym kątem bez jakichkolwiek zaokrągleń.

B. Podczas próbnej pracy kotła wpadło obce twarde ciało w prowadnicę krzy-



żulca, połączoną z korpusem cylindra, pomiędzy krzyżulec i korpus cylindra, wobec czego przy ruchu tłoka w stronę odkorbową zgiął się korbwód i jednocześnie nadłamał się odlew cylindra w miejscu połączenia z kotłem, który przy następnym ruchu korby w stronę kukorbową został zerwany wobec skróconego przez zgięcie korbwodu.

C. Na krótko przed próbnym uruchomieniem kotła, wskutek jakiegoś uderzenia uległa lewa ściana, o której mowa w punkcie 11, pęknięciu, co spowodowało oderwanie się jej po uruchomieniu. Ściana ta nieopancerzona blachą, była dostępna. Kierunek ruchu, oderwanego od kotła zasadniczego, omawianego w p. 10, odlewu jest zgodny z tem przypuszczeniem. Pograżenie się w ziemię lewego przed-

niego koła zostało wywołane dzięki częściowemu obróceniu się lokomobili według linii przechodzącej przez punkty styku z ziemią przedniego i tylnego — prawych kół, od reakcji działającej przy wylatywaniu omawianej ścianki w lewą stronę — następnie dzięki powrotowi lokomobili na dawne miejsce przy towarzyszącym uderzeniu o ziemię lewych kół, a głównie uderzenie omawianej ściany miało miejsce bezpośrednio przed wybuchem, można je było określić podczas badania jako nowe. Powyższe przypuszczenie pokrywałoby się z okolicznością, iż na kilka dni przed eksplozją miało miejsce złośliwe uszkodzenie lokomobili przez wykreślenie kilku części, które nie miało na celu kradzieży.

T A B E L A 1.

Obciążenie $kg/cm^2$ . . . . .	0	1	2	3	4	5	6	7	8	9	10
Wskazania skali przy podnoszeniu obciążenia . . . . .	0,1	1,4	2,4	3,4	4,4	5,4	6,35	7,35	8,3	9,25	10,1
Wskazania skali przy zmniejszaniu obciążenia . . . . .	0,1	1,5	2,6	3,6	4,6	5,6	6,6	7,4	8,4	9,4	10,1

Z. K.

## Ś. P. TOMASZ KOCIATKIEWICZ

(Wspomnienie pośmiertne).

W dniu 19 października 1930 roku zmarł w Warszawie po długich i ciężkich cierpieniach ś. p. Tomasz Kociatkiewicz, Kandydat Nauk Matematycznych Uniwersytetu Warszawskiego, b. długoletni pracownik dróg Żelaznych Iwangrodzko-Dąbrowskiej, Fabryczno-Łódzkiej i Warszawsko-Wiedeńskiej, przedstawiciel Rady Zjazdu Przemysłowców Górniczych i Hutniczych Zagłębia Dąbrowskiego i Krakowskiego, Członek Państwowej Rady Kolejowej, Członek Zarządu i Rady Centralnego Związku Polskiego Przemysłu, Górnictwa, Handlu i Finansów, b. Członek Komisji Rewizyjnej Banku Polskiego, Viceprezes Komitetu Obywatelskiego Miasta Warszawy, b. Profesor W. S. H.

Ś. p. Tomasz Kociatkiewicz był od 1922 roku Viceprezesem Zarządu i Członkiem Rady Nadzorczej, oraz Delegatem Członków Stowarzyszenia Dozoru Kotłów w Warszawie, które stale korzystało z Jego cennych rad i głębokiego doświadczenia przy rozstrzyganiu spraw związanych z działalnością tej instytucji.

Zmarły odznaczał się trafnością i przejrzystością swych przemówień, zdążających zawsze do konkretnego celu, to też był bardzo cenionym i pożądanym członkiem Władz Stowarzyszenia.

Na Walnych Zgromadzeniach Delegatów Członków Stowarzyszenia ś. p. Tomasz Kociatkiewicz był zawsze jednomyślnie wybierany na przewodniczącego Zebrań, które prowadził sprężysto, dzięki czemu debaty kończyły się zawsze uchwałami ku ogólnemu zadowoleniu zebranych.

Nadwątlone zdrowie zmusiło ś. p. Tomasza Kociatkiewicza do ustąpienia w 1929 roku z Władz Stowarzyszenia ku powszechnemu żalowi współtowarzyszów pracy, czemu dała wyraz Rada Nadzorcza Stowarzyszenia wyrażając jednomyślnie ś. p. Tomaszowi Kociatkiewiczowi serdeczne podziękowanie za gorliwą współpracę.

Nieubłagana śmierć przecięła pasmo Jego pracowitego i pożytecznego żywota.

Cześć Jego pamięci.



# KRONIKA TECHNICZNA

## Cieplarnie w siłowni Klingenberg.

### Szczegóły budowlane.

Miejskie Zakłady Elektryczne w Berlinie, założyły w miesiącach zimowych 1928/29 w siłowni Klingenberg wielką cieplarnię z oddziałami dla hodowli ogórków, pomidorów i kwiatów. Budowle zajmujące około 10000 m<sup>2</sup> zabudowanej powierzchni, mogą być rozszerzone o dalszych 5000 m<sup>2</sup>.

Oddział hodowli ogórków obejmuje dwanaście budynków, każdy po 4 m szerokości, 2,5 m wysokości i 80 m długości. Tworzą one wraz z oddziałem sadzonek jeden blok. Cały zakład posiada jeden wspólny oddział sadzonek. Od oranżerii dla ogórków różni się ten budynek tylko dodaniem stołów, ustawionych po obu stronach środkowego przejścia. Skoro sadzonki tak podrosną, że mogą już być przeniesione do poszczególnych oddziałów, używa się tego budynku, po usunięciu stołów, jako oranżerii dla ogórków.

Oddział hodowli pomidorów obejmuje siedem budynków, każdy po 9,1 m szerokości, 4 m wysokości i 67 m długości. Tworzą one również jeden blok. Sąsiadujący z blokiem budynek o 20 m długości, służący obecnie jako narzędziarnia, jest przy rozbudowie przewidziany na dalsze cieplarnie dla pomidorów.

Oba bloki budynków są połączone halą służącą do przebiegania, pakowania i wysyłki owoców. Jest ona 8 m szeroka, 4 m wysoka i 66 m długa.

W oddziale kwiatów, pomieszczonym w budynku, o 6 m szerokości i 80 m długości, sąsiadującym z blokiem oddziału ogórków, są hodowane rozmaite rodzaje kwiatów, które służą do ozdoby klombów na całym terenie siłowni Klingenberg.

### Urządzenia cieplne.

Para pobierana z turbin o ciśnieniu 3,5 at*a* i temperaturze 180—200°C, jest doprowadzana do wymienników ciepła, umieszczonych w kotłowni. Jako medium przenoszące ciepło służy woda, która jest doprowadzana do cieplarni 400 m długim rurociągiem. Temperatura wody w rurociągu doprowadzającym wynosi 120°C, w odprowadzającym 70°C, w obrębie cieplarni temperatura wynosi 90°C i 70°C. Pompy przetłokowe są umieszczone bezpośrednio przed wymiennikami ciepła w rurociągu odprowadzającym wodę z cieplarni.

Przy powiększeniu zakładu do 15000 m<sup>2</sup> zabudowanej powierzchni, są przewidziane trzy wymienniki ciepła. Obecne zapotrzebowanie zakładu przy 10000 m<sup>2</sup> pokrywają dwa leżące wymienniki ciepła dla 2,5 milionów kal/h maksymalnego obciążenia. Każdy z nich ma 55 m<sup>2</sup> powierzchni ogrzewalnej i ogrzewa wodę do 120°C. Konstrukcyjnie są one rozwiązane w ten sposób, że woda spływa po rurkach, przez które przepływa para. W odniesieniu do całkowitej rozbudowy cieplarni wynosi rezerwa wymienników ciepła 50%. Aby użyć parę, lub miarodajne dla przeliczeń ilości ciepła móc ustalić, przepuszcza się kondensat przez miernik wody.

Dla przepompowania ogrzanej wody są przewidziane 3 pompy, które przy całkowitej rozbudowie

cieplarni, posiadać będą 50% rezerwę. Obecnie są czynne dwie pompy, każda na 60 m<sup>3</sup>/h, pędzone motorami elektrycznymi prądu zmiennego. Rurociąg doprowadzający ciepłą wodę do cieplarni i rurociąg powrotny mają 150 mm średnicy w świetle. Są one położone w ziemi, w kanale betonowym. W rurociągu są wbudowane kompensatory, umieszczone w omurowanych, łatwo dostępnych kanałach. W tych samych miejscach są umieszczone przyrządy odpowietrzające i spustowe. Rurociąg składa się z rur o długości 6 m, spojonych ze sobą. Między stałymi punktami spoczywają rury na łożyskach wałkowych, umieszczonych w sześciometrowych odstępach.

Główny rurociąg doprowadzający dzieli się przy wejściu do cieplarni na dwa rurociągi, z których jeden prowadzi wodę do bloku cieplarni ogórków, a drugi do bloku cieplarni pomidorów. Przed wejściem rurociągów do obu bloków jest w każdym rurociągu umieszczony mieszalnik, służący do utrzymywania żądanego spadku temperatur 90/70°C przy zewnętrznej temperaturze —20°C. Aby temperaturę wody obniżyć z 120°C na 90°C, dodaje się wodę z rurociągu powrotnego. Przewód okrężny umożliwia wyłączenie mieszalnika w czasie ruchu. Rurociągi odprowadzające wodę z cieplarni łączą się razem w główny rurociąg odprowadzający.

Przy wyznaczeniu wielkości powierzchni ogrzewalnych kierowano się tem, aby przy zewnętrznych temperaturach —10°C; —20°C były zachowane wewnątrz poszczególnych cieplarni następujące temperatury:

	— 10°	— 20°
w cieplarniach dla ogórków	+ 29	+ 19
" " pomidorów	+ 19	+ 9
" " sadzonek	+ 29	+ 19

Na tej podstawie przyjęto w oddziale ogórków 2090 m<sup>2</sup>, w dziale pomidorów 1450 m<sup>2</sup> i w dziale sadzonek 200,5 m<sup>2</sup>, powierzchni grzejnej.

W oddziale ogórków jest poza ogrzewaniem powietrza zastosowane ogrzewanie ziemi. Po obu stronach środkowego przejścia są w głębokości 25 cm. ułożone w sztruce rury grzejne. Szuter jest przystosowany siatką drucianą, na której dopiero znajduje się ziemia uprawna.

### Nawodnienie.

Cieplarnia jest nawadniana wodą deszczową lub odpływającą z siłowni wodą chłodzącą. Zakład pomp tłoczących, urządzone na wzór wodociągów domowych, jest umieszczony w bezpośrednim sąsiedztwie z cieplarniami. Woda jest pompowana do miejsc zużycia albo bezpośrednio, albo przez przeciwprądowe podgrzewacze (w zimie). Woda deszczowa jest gromadzona w zbiornikach umieszczonych w cieplarniach pod środkowymi przejściami, wskutek czego nie zajmują one powierzchni użytecznej. Zbiorniki są tak urządzone, że mogą być także włączone do sieci miejskich wodociągów.



Do przewozu owoców i ziemi są zastosowane wózki elektryczne (akumulatorowe), o rozstępie osi 600 mm i nośności 750 kg.

Celem doświadczeń zastosowano elektryczne naswietlanie sadzonek, które dało zadawalniające wyniki. Naswietlane sadzonki dojrzewały około 14 dni wcześniej. Doświadczenia są przeprowadzane w dalszym ciągu, tak, że nie można jeszcze ustalić konkretnych

wniosek. Równocześnie są przeprowadzane badania ogrzewania ziemi zapomocą specjalnego kabla.

Cieplarnie dostarczyły w czasie od połowy kwietnia do końca maja około 5000 sztuk ogórków. (*Archiv für Warmwirtschaft und Dampfkesselwesen Nr. 9. 1929*).

M. N.

## NOWY INSTYTUT BADAWCZY

W sierpniu b. r. rozpoczęła swoją działalność nowa placówka badawcza pod nazwą „Instytut Gazowy Ska z ogr. odp.“ Celem Instytutu jest:

- 1) przeprowadzanie badań nad gazami wszelkiego rodzaju i nad urządzeniami służącymi do wytwarzania, transportu i zużywania gazów.
- 2) wykonywanie projektów i urządzeń służących do wytwarzania, transportu i użytkowania wszelkiego rodzaju gazów,
- 3) dostawa takich urządzeń z własnych lub cudzych fabryk,
- 4) organizowanie spółek oraz przystępowanie w cha-

rakterze wspólnika do istniejących spółek o podobnych celach,

- 5) nabywanie patentów z dziedziny gazownictwa i eksploatacja ich we własnych lub cudzych przedsiębiorstwach.

Rada nadzorcza Instytutu składa się z p. p. Prof. Dr. Romana Witkiewicza jako prezesa, Dr. Inż. Stanisława Jamroza, Inż. Brunona Szymańskiego, Inż. Marjana Wieleżyńskiego jako członków.

Zawiadowcą Instytutu jest Inż. Stefan Sulimirski. Biura Zarządu Instytutu mieszczą się we Lwowie przy ul. Leona Sapiehy 3.

## PRZEGLĄD KSIĄŻEK

*Hilfsbuch für Betriebsberechnungen. Mit besonderer Berücksichtigung nomographischer Methoden, von B. M. Konorski. Mit 46 Nomogrammen und 13 Kurventafeln und einem Lineal in einer Mappe sowie mit 71 Zahlentafeln und 35 Textabbildungen. Berlin, Verlag von J. Springer 1930.*

Pod powyższym tytułem ukazał się na rynku księgarskim, na początku bieżącego roku, ciekawy podręcznik, napisany przez polskiego inżyniera ruchu i wydany w języku niemieckim w Berlinie. Stosownie do myśli przewodniej autora podręcznik ma służyć pomocą inżynierom ruchu przy ich codziennej pracy.

Inżynier ruchu ma jako główne zadanie utrzymać powierzoną sobie instalację w stanie pewności ruchu. Być inżynierem ruchu — to przewidywać, a przewidywać — to wyrobić sobie sąd o kwestiach bezpieczeństwa i kwestiach sprawności prowadzonej instalacji.

Jeśli chodzi o bezpieczeństwo, to trzeba sobie zdawać sprawę czy naprężenia i temperatury nie zagrażają życiu ludzkiemu i nie hamują ruchu; jeśli zaś chodzi o sprawność, to trzeba sobie zdawać sprawę, czy nie zachodzi trwonienie energii.

Odpowiedź na powyższe zagadnienia dają przeliczenia; przeliczenia zaś zyskują na wartości im prędzej mogą być wykonane; zresztą w ruchu stoi się często przed koniecznością decyzji nagłych i dobrze jest wtedy mieć możliwość zdać sobie sprawę, jakie skutki wywołują te decyzje.

Przy przeliczeniach inżynier zazwyczaj posługuje się suwakami; autor zaś omawianego podręcznika daje

mu do rozporządzenia nowy instrument w postaci tablic załączonych do podręcznika. Autorze brał w podręczniku zasadnicze wzory z rozmaitych dziedzin techniki, z którymi styka się inżynier ruchu, i zbudował dla tych wzorów nomogramy, t. zn. wykresy, które przez jedno lub dwukrotne przyłożenie linijki do nomogramu, dają gotowe rezultaty dla nieznanych zmiennych tych wzorów. Należy zaznaczyć, że nomogramy nie zastępują suwaka, przeciwnie suwak jest potrzebny przy nomogramach, gdyż niektóre ze zmiennych zostały zastąpione przez ilorazy i w tej postaci zostały wprowadzone do nomogramów.

Aby jednak pracy inżyniera nie przeciążać autor użytkował dla podręcznika nomogramy tylko trzy i czterokształtne.

Podręcznik oprócz wzorów podaje szereg tablic cyfrowych oraz zestawień zaczerpniętych z katalogów firmowych. Ponadto podręcznik podaje mnóstwo przykładów z każdego działu i wskazuje sposób rozwiązania ich za pomocą nomogramów.

Autor zastosował nomogramy dla następujących działów:

I. Ogólny: dodawanie geometryczne i odejmowanie, ciężar prętów i sztab żelaznych i miedzianych.

II. Mechanika i ciepło: szybkość i siła obwodowa, przepływ cieczy i pary przez otwory i przewody, opory, przepływ przez kryzy, termometr, wilgotność, ciśnienie, ciepłik i ciężar właściwy pary wodnej, spadek ciśnienia w przewodach, obliczenie przewodów, równanie gazów.



III. Wytrzymałość części maszyn: rozciąganie, ściskanie, ścinanie, wyboczenie (tylko słupów drewnianych), gięcie, skręcanie, obliczanie wałów, napęd pasowy i linowy, koła zębate.

IV. Kotły parowe: procesy spalania, ilość gazów spalinowych, straty i sprawność kotła, komin.

V. Oświetlenie.

VI. Elektrotechnika: opór elektryczny, nagrzewanie drutów, przekrój drutów i bezpieczników, wytrzymałość izolacji, spadek napięcia i mocy w przewodach, przeciążenie maszyn elektrycznych.

VII. Zużycie pary i sprawność turbin i maszyn parowych.

VIII. Pompy i wentylatory.

Jak widać z powyższego nomogramy obejmują wszystkie zagadnienia spotykane w ruchu.

Zwięzłość w tego rodzaju podręczniku jest konieczna, jednak autor niekiedy jest nieco za zwięzły, a trzeba pamiętać, że podręcznik powinien wyeliminować stratę czasu na szukanie brakujących wiadomości w innych źródłach. Np. przy wzorach dla mierzenia ilości przepływającego medium przez kryzę, trzeba było dodać, że wzory dotyczą kryz o brzegach ostrych, dla uniknięcia pomyłek, oraz że są ściśle dla wody,

gazów i powietrza z dokładnością  $\pm 2\%$ ; dla pary zaś ściśle w przybliżeniu z warunkiem, że „h” będzie małe.

Przy wzorach Fornera dla zużycia pary przez turbiny, należało zaznaczyć, że są one ważne dla obszaru objętego przez nomogram Nr. 45, aby przesłanie czytelnika przed zamiarem przeliczania zużycia dla innych warunków. Poza to szkoda, że autor do tablicy 28 nie wciągnął węgla polskich.

Należy podnieść, że podręcznik opracowany jest z b. dużym nakładem pracy i czasu; zgrupowanie materiału i przykładów tworzy praktycznie wybraną, gruntownie przemyślaną i celową całość.

Podręcznik t. zn. nomogramy wymagają czasu dla nabrania wprawy w posługiwaniu się nimi, co początkowo nie jest łatwe, lecz w miarę przyswojenia sobie tej metody oddadzą niewątpliwie posiłkującemu się nieocenione przysługi.

Można go przeto gorąco polecić nie tylko inżynierowi ruchu, ale wogóle każdemu inżynierowi, gdyż każdy z nich znajdzie w nomogramach pożyteczne narzędzia pracy.

Wydanie podręcznika b. staranne, jak zwykle wszystkich wydawnictw Springer'a.

*T. Wróblewski, inż.*

## BADANIA WODY

Biuro Okręgu Lwowskiego Stowarzyszenia Dozoru Kotłów w Warszawie (Lwów, ul. Św. Teresy 10) wykonywuje analizy wody do zasilania kotłów parowych, (wody surowej, zmiękczonej, skroplin) oraz udziela porad w zakresie zwalczania szkodliwych skutków działania wody zasilającej na blachy kotłów.

Do wykonania analizy należy nadesłać próbkę wody w ilości 3 litrów. Próbki należy przysyłać w butelkach ze szkła bezbarwnego, dobrze wmytych, kilkakrotnie wypłukanych wodą, z której ma być pobrana próbka, zamkniętych nowymi korkami i zalakowanych.

**Cena kompletnej analizy wynosi 40 zł.**